

試験結果報告書

米子市長 伊木隆司 様



広島県福山市箕島町南丘399番地46
電話 (084) 981-0181 (代表)

計量証明事業所 広島県登録第T-4号

採取日時	2023年3月3日 11:25	報告書番号	22HS12478P
		発行年月日	2023年3月16日
試料名	煙道内焼却残渣	採取者名	高松和広
採取場所	どらドラパーク米子市民体育館 機械室 煙道	採取方法	平成4年 厚生省告示第192号
その他	—		
試験実施期間	2023年3月3日 ~ 2023年3月16日		

上記試料についての試験結果を次のとおり報告します。

試験対象	試験結果		試験方法
ダイオキシン類 (焼却灰その他燃え殻)	実測濃度 (ng/g)	毒性等量 (ng-TEQ/g)	特別管理一般廃棄物及び特別管理産業廃棄物に係る 基準の検定方法 (平成4年7月 厚生省告示第192号)
	86	0.045	
備考	物件名 : 市民体育館アスベスト等調査分析業務委託		

ダイオキシン類の測定分析結果(焼却灰その他燃え殻)

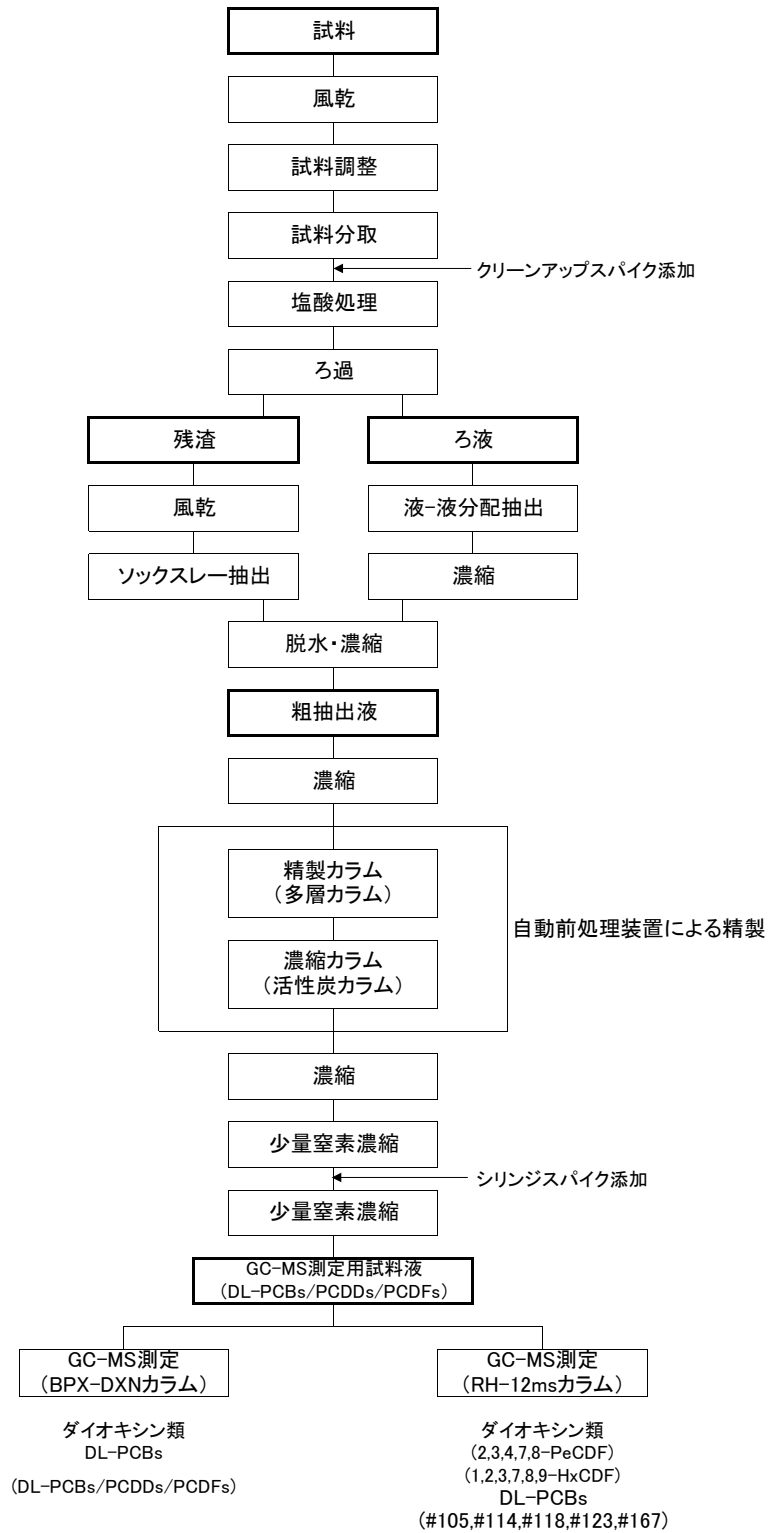
煙道内焼却残渣 どらドラパーク米子市民体育館 機械室 煙道		実測濃度 (ng/g)	試料における 定量下限値 (ng/g)	試料における 検出下限値 (ng/g)	毒性等価係数 (TEF)	毒性等量 (ng-TEQ/g)	
PCDD	1, 3, 6, 8-TeCDD	0.15	0.004	0.001	0	0	
	1, 3, 7, 9-TeCDD	0.054	0.004	0.001	0	0	
	2, 3, 7, 8-TeCDD	ND	0.004	0.001	1	0	
	other-TeCDDs	0.010	0.004	0.001	—	—	
	1, 2, 3, 7, 8-PeCDD	(0.002)	0.005	0.001	1	0	
	other-PeCDDs	0.042	0.005	0.001	—	—	
	1, 2, 3, 4, 7, 8-HxCDD	ND	0.007	0.002	0.1	0	
	1, 2, 3, 6, 7, 8-HxCDD	(0.003)	0.007	0.002	0.1	0	
	1, 2, 3, 7, 8, 9-HxCDD	ND	0.007	0.002	0.1	0	
	other-HxCDDs	0.027	0.007	0.002	—	—	
	1, 2, 3, 4, 6, 7, 8-HpCDD	0.024	0.009	0.003	0.01	0.00024	
	other-HpCDDs	0.024	0.009	0.003	—	—	
OCDD	0.21	0.018	0.006	0.0003	0.000063		
PCDF	1, 2, 7, 8-TeCDF	0.009	0.004	0.001	0	0	
	2, 3, 7, 8-TeCDF	0.013	0.004	0.001	0.1	0.0013	
	other-TeCDFs	0.073	0.004	0.001	—	—	
	1, 2, 3, 7, 8-PeCDF	0.005	0.004	0.001	0.03	0.00015	
	2, 3, 4, 7, 8-PeCDF	0.005	0.004	0.001	0.3	0.0015	
	other-PeCDFs	0.055	0.004	0.001	—	—	
	1, 2, 3, 4, 7, 8-HxCDF	(0.006)	0.007	0.002	0.1	0	
	1, 2, 3, 6, 7, 8-HxCDF	(0.006)	0.007	0.002	0.1	0	
	1, 2, 3, 7, 8, 9-HxCDF	ND	0.007	0.002	0.1	0	
	2, 3, 4, 6, 7, 8+1, 2, 3, 6, 8, 9-HxCDF	(0.004)	0.007	0.002	0.1	0	
	other-HxCDFs	0.038	0.007	0.002	—	—	
	1, 2, 3, 4, 6, 7, 8-HpCDF	0.022	0.008	0.002	0.01	0.00022	
	1, 2, 3, 4, 7, 8, 9-HpCDF	ND	0.009	0.003	0.01	0	
other-HpCDFs	0.013	0.008	0.003	—	—		
OCDF	0.021	0.019	0.006	0.0003	0.000063		
DL-PCB	non-ortho CBs	3, 3', 4, 4' -TeCB(#77)	14	0.007	0.002	0.0001	0.0014
		3, 4, 4', 5-TeCB(#81)	0.27	0.007	0.002	0.0003	0.000081
		3, 3', 4, 4', 5-PeCB(#126)	0.38	0.007	0.002	0.1	0.038
		3, 3', 4, 4', 5, 5' -HxCB(#169)	ND	0.007	0.002	0.03	0
	mono-ortho CBs	2, 3, 3', 4, 4' -PeCB(#105)	30	0.007	0.002	0.00003	0.00090
		2, 3, 4, 4', 5+3, 3', 4, 5, 5' -PeCB(#114+#127)	1.3	0.007	0.002	0.00003	0.000039
		2, 3', 4, 4', 5-PeCB(#118)	34	0.007	0.002	0.00003	0.00102
		2', 3, 4, 4', 5-PeCB(#123)	1.1	0.007	0.002	0.00003	0.000033
		2, 3, 3', 4, 4', 5-HxCB(#156)	2.2	0.007	0.002	0.00003	0.000066
		2, 3, 3', 4, 4', 5' -HxCB(#157)	0.58	0.007	0.002	0.00003	0.0000174
		2, 3', 4, 4', 5, 5' -HxCB(#167)	0.72	0.006	0.002	0.00003	0.0000216
		2, 3, 3', 4, 4', 5, 5' -HpCB(#189)	0.056	0.007	0.002	0.00003	0.0000168
		Total TEQ	—	—	—	—	0.045

Compound	実測濃度 (ng/g)	毒性等量 (ng-TEQ/g)
PCDDs	TeCDDs	0.22
	PeCDDs	0.044
	HxCDDs	0.029
	HpCDDs	0.048
	OCDD	0.21
	Total PCDDs	0.55
PCDFs	TeCDFs	0.094
	PeCDFs	0.065
	HxCDFs	0.054
	HpCDFs	0.035
	OCDF	0.021
	Total PCDFs	0.27
Total (PCDDs+PCDFs)	0.82	0.0035
DL-PCB	non-ortho CBs	15
	mono-ortho CBs	70
	Total DL-PCB	85
Total (PCDDs+PCDFs+DL-PCB)	86	0.045

- 備考1. 実測濃度の項において、括弧付きの数値は検出下限以上定量下限未満の濃度であることを示す。
2. 実測濃度の項において、“ND”は検出下限未満の濃度であることを示す。
3. 毒性等価係数は、WHO-TEF(2006)を適用した。
4. 毒性等量は、定量下限以上の値はそのままの値を用い、定量下限未満の値は0(ゼロ)として算出したものである。

分析方法: 特別管理一般廃棄物及び特別管理産業廃棄物に係る基準の検定方法(平成4年7月厚生省告示第192号)

<資料 - 1> 分析フロー



ダイオキシン類分析フロー図(ばいじん及び焼却灰その他の燃え殻)

<資料 - 2> 分析条件

1. ダイオキシン類の測定条件

(1) GC/MS の測定条件

1) JMS-800D Ultra Focus (BPX-DXN 長さ:60m 口径:0.25mmID)

[GC : Agilent 7890B]

カラム温度 : 150°C(1min)→ (20°C/min)→ 220°C→ (2°C/min)→260°C→ (5°C/min)→320°C (3.5min)
注入口温度 : 270°C
注入方法 : スプリットレス

[MS : JEOL JMS-800D Ultra Focus]

分解能(M/ΔM) : 10,000 以上
イオン化電圧 : 38eV
イオン化電流 : 500 μ A
イオン源温度 : 270°C
イオン加速電圧 : 10kV

2) JMS-800D (RH-12ms 長さ:60m 口径:0.25mmID)

[GC : Agilent 7890A]

カラム温度 : 150°C(1min)→ (10°C/min)→ 210°C→ (3°C/min)→280°C→ (20°C/min)→320°C (11.7min)
注入口温度 : 270°C
注入方法 : スプリットレス

[MS : JEOL JMS-800D]

分解能(M/ΔM) : 10,000 以上
イオン化電圧 : 38eV
イオン化電流 : 500 μ A
イオン源温度 : 270°C
イオン加速電圧 : 10kV

(2) 測定対象異性体

1) 使用キャピラリーカラム:BPX-DXN

2, 3, 7, 8-TeCDD	3, 3', 4, 4'-TeCB(#77)
1, 2, 3, 7, 8-PeCDD	3, 4, 4', 5-TeCB(#81)
1, 2, 3, 4, 7, 8-HxCDD	3, 3', 4, 4', 5-PeCB(#126)
1, 2, 3, 6, 7, 8-HxCDD	3, 3', 4, 4', 5, 5'-HxCB(#169)
1, 2, 3, 7, 8, 9-HxCDD	2', 3, 4, 4', 5-PeCB(#123) 注2
1, 2, 3, 4, 6, 7, 8-HpCDD	2, 3, 3', 4, 4', 5-HxCB(#156)
OCDD	2, 3, 3', 4, 4', 5'-HxCB(#157)
2, 3, 7, 8-TeCDF	2, 3, 3', 4, 4', 5, 5'-HpCB(#189)
1, 2, 3, 7, 8-PeCDF	
1, 2, 3, 4, 7, 8-HxCDF	注1:どちらのカラムでも単離できないため、単離
1, 2, 3, 6, 7, 8-HxCDF	できない異性体との合計で定量している。
2, 3, 4, 6, 7, 8-HxCDF 注1	注2:通常 RH-12ms 測定分を採用する。
1, 2, 3, 4, 6, 7, 8-HpCDF	
1, 2, 3, 4, 7, 8, 9-HpCDF	
OCDF	

2) 使用キャピラリーカラム:RH-12ms

BPX-DXN で単離できなかった異性体化合物
 主な RH-12ms 測定で採用する化合物

2, 3, 4, 7, 8-PeCDF	2', 3, 4, 4', 5-PeCB(#123)
1, 2, 3, 7, 8, 9-HxCDF	2, 3', 4, 4', 5-PeCB(#118)
	2, 3, 3', 4, 4'-PeCB(#105)
	2, 3, 4, 4', 5-PeCB(#114) 注1
	2, 3', 4, 4', 5, 5'-HxCB(#167)

(3) 検出法

SIM 検出法(ロックマス方式)

(4) 設定質量数(モニターイオン)

Compound		Native			Label		
		M ⁺	(M+2) ⁺	(M+4) ⁺	M ⁺	(M+2) ⁺	(M+4) ⁺
PCDDs	TeCDDs	319.8965	321.8936		331.9368	333.9339	
	PeCDDs	353.8576	355.8547		365.8978	367.8949	
	HxCDDs		389.8158	391.8128		401.8559	403.8530
	HpCDDs		423.7767	425.7738		435.8169	437.814
	OCDD		457.7377	459.7348		469.7779	471.775
PCDFs	TeCDFs	303.9016	305.8987		315.9419	317.9389	
	PeCDFs		339.8598	341.8568		351.9000	353.8970
	HxCDFs		373.8208	375.8179		385.8610	387.8581
	HpCDFs		407.7818	409.7789		419.8220	421.8191
	OCDF		441.7428	443.7399		453.7830	455.7801
DL-PCBs	TeCBs	289.9224	291.9194		301.9626	303.9597	
	PeCBs		325.8804	327.8775		337.9207	339.9178
	HxCBs		359.8415	361.8385		371.8817	373.8788
	HpCBs		393.8025	395.7995		405.8428	407.8398
ロックマス		質量校正用標準物質(PFK)					

2. 標準物質と内標準物質との対応

(1) BPX-DXN

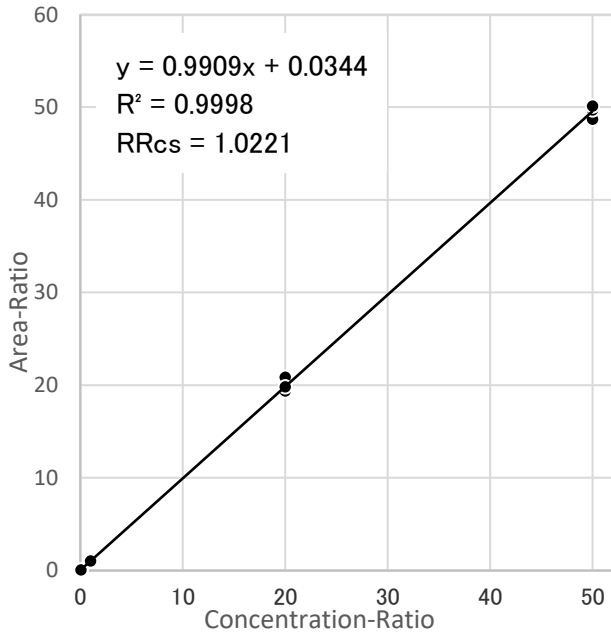
Compound		標準物質	クリーンアップスパイク	シリンジスパイク	サンプリングスパイク
PCDDs	TeCDDs	1,3,6,8-	¹³ C ₁₂ -2,3,7,8-	¹³ C ₁₂ -1,3,7,8-TeCDD	¹³ C ₁₂ -1,2,3,4-TeCDD
		1,3,7,9-	¹³ C ₁₂ -2,3,7,8-		
		2,3,7,8-	¹³ C ₁₂ -2,3,7,8-		
		1,2,8,9-	¹³ C ₁₂ -2,3,7,8-		
	PeCDDs	1,2,3,7,8-	¹³ C ₁₂ -1,2,3,7,8-	¹³ C ₁₂ -1,2,4,7,8-PeCDD	
	HxCDDs	1,2,3,4,7,8-	¹³ C ₁₂ -1,2,3,4,7,8-	¹³ C ₁₂ -1,2,3,4,6,8-HxCDD	
		1,2,3,6,7,8-	¹³ C ₁₂ -1,2,3,6,7,8-		
		1,2,3,7,8,9-	¹³ C ₁₂ -1,2,3,7,8,9-		
	HpCDDs	1,2,3,4,6,7,8-	¹³ C ₁₂ -1,2,3,4,6,7,8-	¹³ C ₁₂ -1,2,3,4,6,7,9-HpCDD	
	OCDD	OCDD	¹³ C ₁₂ -OCDD		
PCDFs	TeCDFs	1,3,6,8-	¹³ C ₁₂ -2,3,7,8-	¹³ C ₁₂ -1,3,7,8-TeCDD	
		1,2,7,8-	¹³ C ₁₂ -2,3,7,8-		
		2,3,7,8-	¹³ C ₁₂ -2,3,7,8-		
		1,2,8,9-	¹³ C ₁₂ -2,3,7,8-		
	PeCDFs	1,2,3,7,8-	¹³ C ₁₂ -1,2,3,7,8-	¹³ C ₁₂ -1,2,4,7,8-PeCDD	
		2,3,4,7,8-	¹³ C ₁₂ -2,3,4,7,8-		
	HxCDFs	1,2,3,4,7,8-	¹³ C ₁₂ -1,2,3,4,7,8-	¹³ C ₁₂ -1,2,3,4,6,8-HxCDD	
		1,2,3,6,7,8-	¹³ C ₁₂ -1,2,3,6,7,8-		
		1,2,3,7,8,9-	¹³ C ₁₂ -1,2,3,7,8,9-		
		2,3,4,6,7,8-	¹³ C ₁₂ -2,3,4,6,7,8-		
	HpCDFs	1,2,3,4,6,7,8-	¹³ C ₁₂ -1,2,3,4,6,7,8-	¹³ C ₁₂ -1,2,3,4,6,7,9-HpCDD	
		1,2,3,4,7,8,9-	¹³ C ₁₂ -1,2,3,4,7,8,9-		
	OCDF	OCDF	¹³ C ₁₂ -OCDF		
DL-PCBs	TeCBs	3,3',4,4'-(#77)	¹³ C ₁₂ -3,3',4,4'-(#77)	¹³ C ₁₂ -2,3',4',5-TeCB(#70)	
		3,4,4',5-(#81)	¹³ C ₁₂ -3,4,4',5-(#81)		
	PeCBs	2,3,3',4,4'-(#105)	¹³ C ₁₂ -2,3,3',4,4'-(#105)		
		2,3,4,4',5-(#114)	¹³ C ₁₂ -2,3,4,4',5-(#114)		
		2,3',4,4',5-(#118)	¹³ C ₁₂ -2,3',4,4',5-(#118)		
		2',3,4,4',5-(#123)	¹³ C ₁₂ -2',3,4,4',5-(#123)		
		3,3',4,4',5-(#126)	¹³ C ₁₂ -3,3',4,4',5-(#126)		
	HxCBs	2,3,3',4,4',5-(#156)	¹³ C ₁₂ -2,3,3',4,4',5-(#156)		¹³ C ₁₂ -2,2',3,4,4',5'-HxCB(#138)
		2,3,3',4,4',5'-(#157)	¹³ C ₁₂ -2,3,3',4,4',5'-(#157)		
		2,3',4,4',5,5'-(#167)	¹³ C ₁₂ -2,3',4,4',5,5'-(#167)		
		3,3',4,4',5,5'-(#169)	¹³ C ₁₂ -3,3',4,4',5,5'-(#169)		
	HpCBs	2,2',3,3',4,4',5-(#170)	¹³ C ₁₂ -2,2',3,3',4,4',5-(#170)		
		2,2',3,4,4',5,5'-(#180)	¹³ C ₁₂ -2,2',3,4,4',5,5'-(#180)		
2,3,3',4,4',5,5'-(#189)		¹³ C ₁₂ -2,3,3',4,4',5,5'-(#189)			

(2) RH-12ms

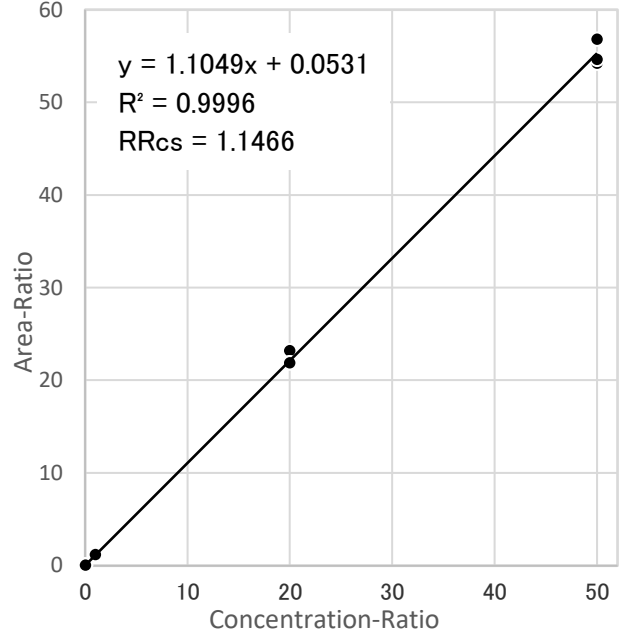
Compound		標準物質	クリーンアップスパイク	シリンジスパイク	サンプリングスパイク
PCDDs	TeCDDs	1,3,6,8-	¹³ C ₁₂ -2,3,7,8-	¹³ C ₁₂ -1,3,7,8-TeCDD	¹³ C ₁₂ -1,2,3,4-TeCDD
		1,3,7,9-	¹³ C ₁₂ -2,3,7,8-		
		2,3,7,8-	¹³ C ₁₂ -2,3,7,8-		
		1,2,8,9-	¹³ C ₁₂ -2,3,7,8-		
	PeCDDs	1,2,3,7,8-	¹³ C ₁₂ -1,2,3,7,8-	¹³ C ₁₂ -1,2,4,7,8-PeCDD	
	HxCDDs	1,2,3,4,7,8-	¹³ C ₁₂ -1,2,3,4,7,8-	¹³ C ₁₂ -1,2,3,4,6,8-HxCDD	
		1,2,3,6,7,8-	¹³ C ₁₂ -1,2,3,6,7,8-		
		1,2,3,7,8,9-	¹³ C ₁₂ -1,2,3,7,8,9-		
	HpCDDs	1,2,3,4,6,7,8-	¹³ C ₁₂ -1,2,3,4,6,7,8-	¹³ C ₁₂ -1,2,3,4,6,7,9-HpCDD	
	OCDD	OCDD	¹³ C ₁₂ -OCDD		
PCDFs	TeCDFs	1,3,6,8-	¹³ C ₁₂ -2,3,7,8-	¹³ C ₁₂ -1,3,7,8-TeCDD	
		1,2,7,8-	¹³ C ₁₂ -2,3,7,8-		
		2,3,7,8-	¹³ C ₁₂ -2,3,7,8-		
		1,2,8,9-	¹³ C ₁₂ -2,3,7,8-		
	PeCDFs	1,2,3,7,8-	¹³ C ₁₂ -1,2,3,7,8-	¹³ C ₁₂ -1,2,4,7,8-PeCDD	
		2,3,4,7,8-	¹³ C ₁₂ -2,3,4,7,8-		
	HxCDFs	1,2,3,4,7,8-	¹³ C ₁₂ -1,2,3,4,7,8-	¹³ C ₁₂ -1,2,3,4,6,8-HxCDD	
		1,2,3,6,7,8-	¹³ C ₁₂ -1,2,3,6,7,8-		
		1,2,3,7,8,9-	¹³ C ₁₂ -1,2,3,7,8,9-		
		2,3,4,6,7,8-	¹³ C ₁₂ -2,3,4,6,7,8-		
	HpCDFs	1,2,3,4,6,7,8-	¹³ C ₁₂ -1,2,3,4,6,7,8-	¹³ C ₁₂ -1,2,3,4,6,7,9-HpCDD	
		1,2,3,4,7,8,9-	¹³ C ₁₂ -1,2,3,4,7,8,9-		
	OCDF	OCDF	¹³ C ₁₂ -OCDF		
DL-PCBs	TeCBs	3,3',4,4'-(#77)	¹³ C ₁₂ -3,3',4,4'-(#77)	¹³ C ₁₂ -2,3',4',5-TeCB(#70)	
		3,4,4',5-(#81)	¹³ C ₁₂ -3,4,4',5-(#81)		
	PeCBs	2,3,3',4,4'-(#105)	¹³ C ₁₂ -2,3,3',4,4'-(#105)	¹³ C ₁₂ -2,3,3',5,5'-PeCB-(#111)	
		2,3,4,4',5-(#114)	¹³ C ₁₂ -2,3,4,4',5-(#114)		
		2,3',4,4',5-(#118)	¹³ C ₁₂ -2,3',4,4',5-(#118)		
		2',3,4,4',5-(#123)	¹³ C ₁₂ -2',3,4,4',5-(#123)		
		3,3',4,4',5-(#126)	¹³ C ₁₂ -3,3',4,4',5-(#126)		
	HxCBs	2,3,3',4,4',5-(#156)	¹³ C ₁₂ -2,3,3',4,4',5-(#156)	¹³ C ₁₂ -2,3,3',5,5'-PeCB-(#111)	
		2,3,3',4,4',5'-(#157)	¹³ C ₁₂ -2,3,3',4,4',5'-(#157)		
		2,3',4,4',5,5'-(#167)	¹³ C ₁₂ -2,3',4,4',5,5'-(#167)		
		3,3',4,4',5,5'-(#169)	¹³ C ₁₂ -3,3',4,4',5,5'-(#169)		
	HpCBs	2,2',3,3',4,4',5-(#170)	¹³ C ₁₂ -2,2',3,3',4,4',5-(#170)	¹³ C ₁₂ -2,2',3,4,4',5,5'-(#180)	
		2,2',3,4,4',5,5'-(#180)	¹³ C ₁₂ -2,2',3,4,4',5,5'-(#180)		
2,3,3',4,4',5,5'-(#189)		¹³ C ₁₂ -2,3,3',4,4',5,5'-(#189)			

<資料 - 3> 検量線

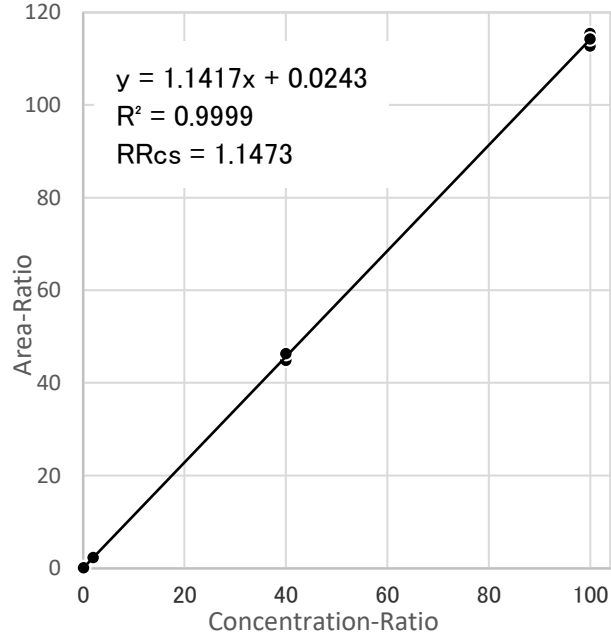
2,3,7,8-TeCDD



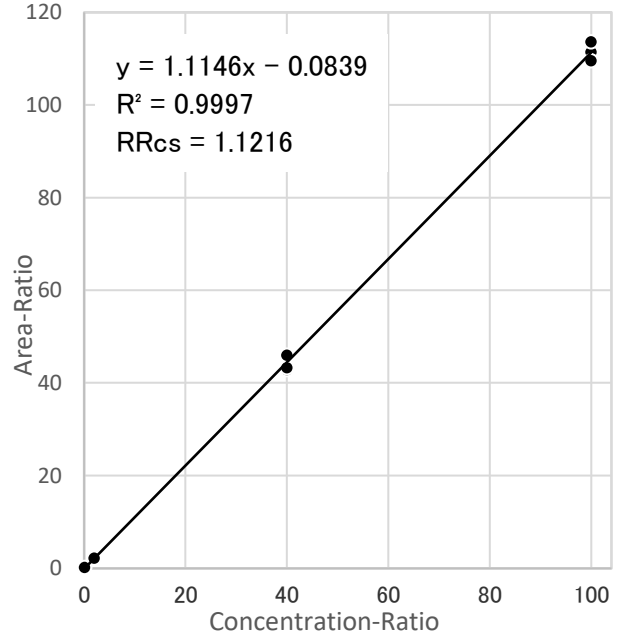
1,2,3,7,8-PeCDD



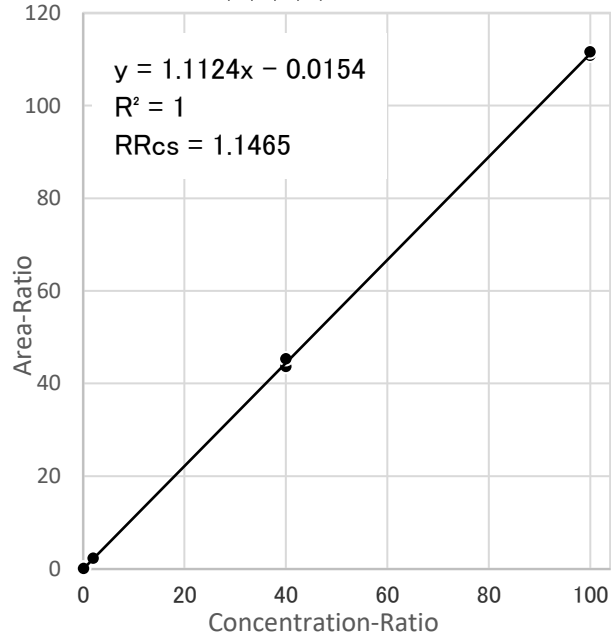
1,2,3,4,7,8-HxCDD



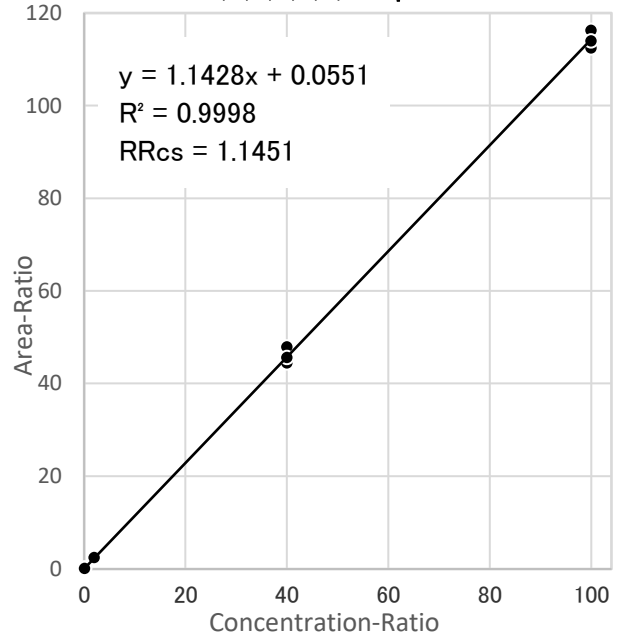
1,2,3,6,7,8-HxCDD



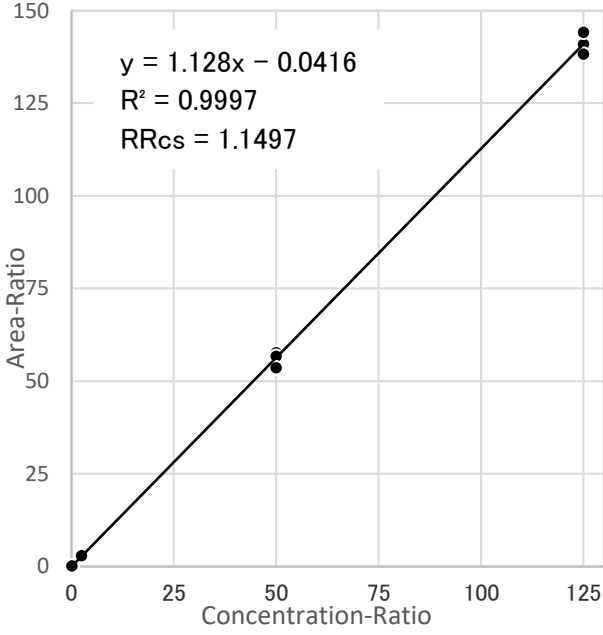
1,2,3,7,8,9-HxCDD



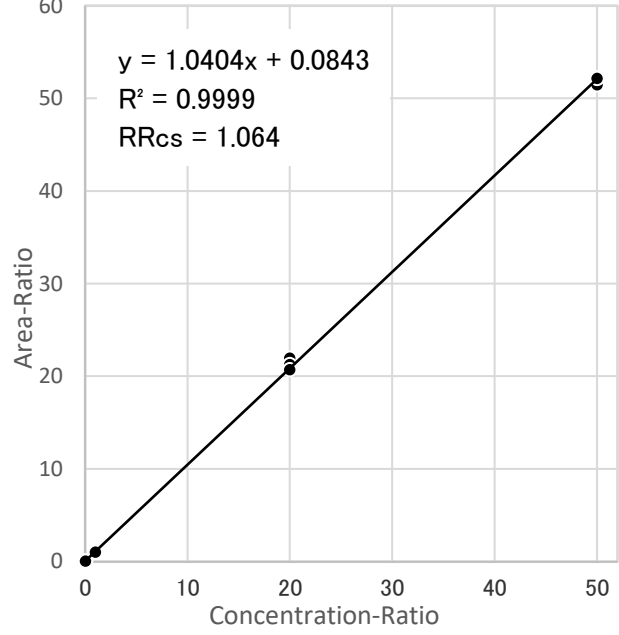
1,2,3,4,6,7,8-HpCDD



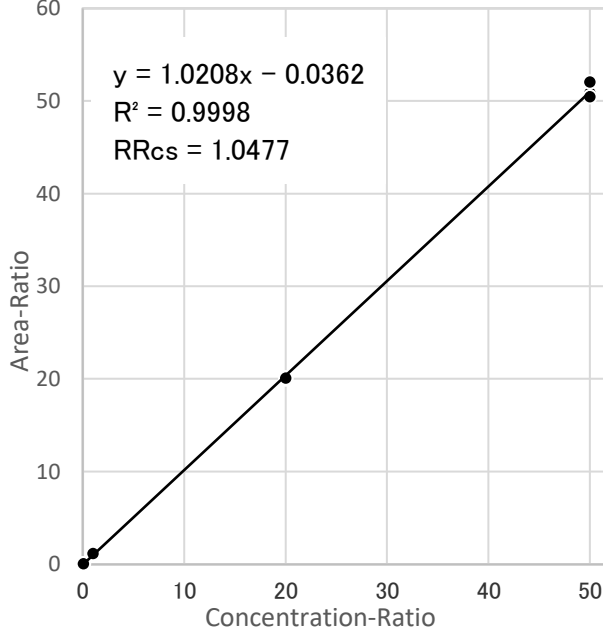
1,2,3,4,6,7,8,9-OCDD



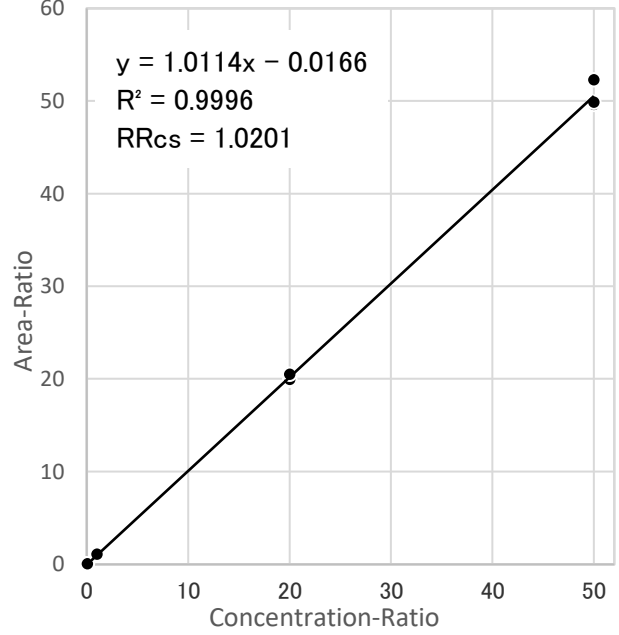
2,3,7,8-TeCDF



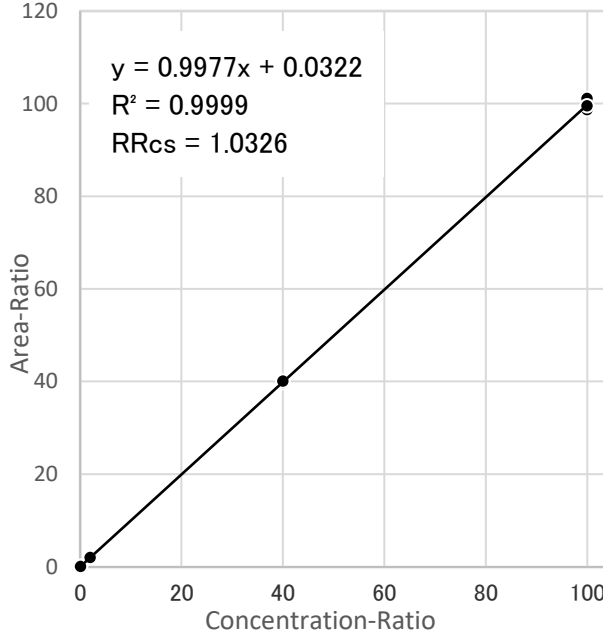
1,2,3,7,8-PeCDF



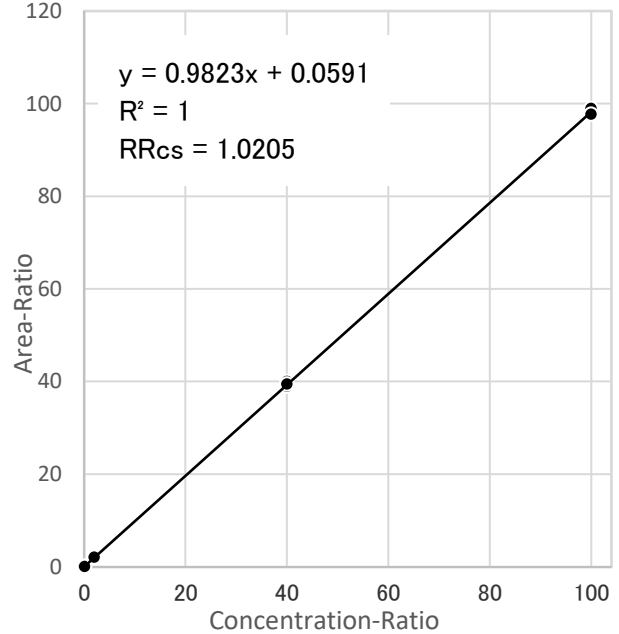
2,3,4,7,8-PeCDF



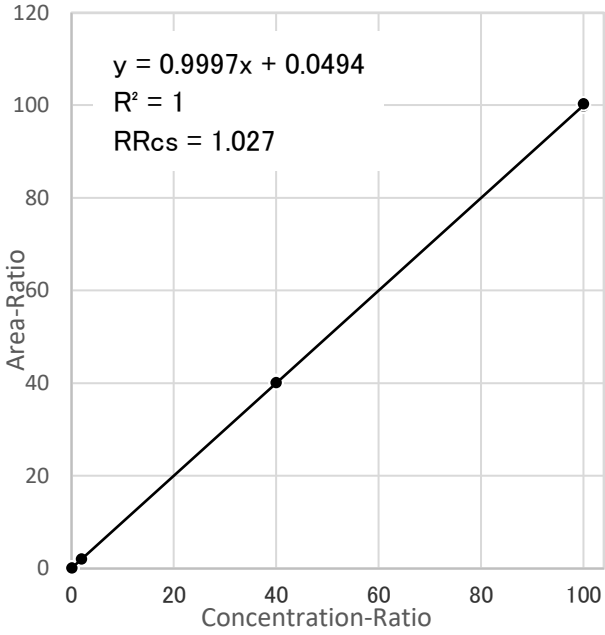
1,2,3,4,7,8-HxCDF



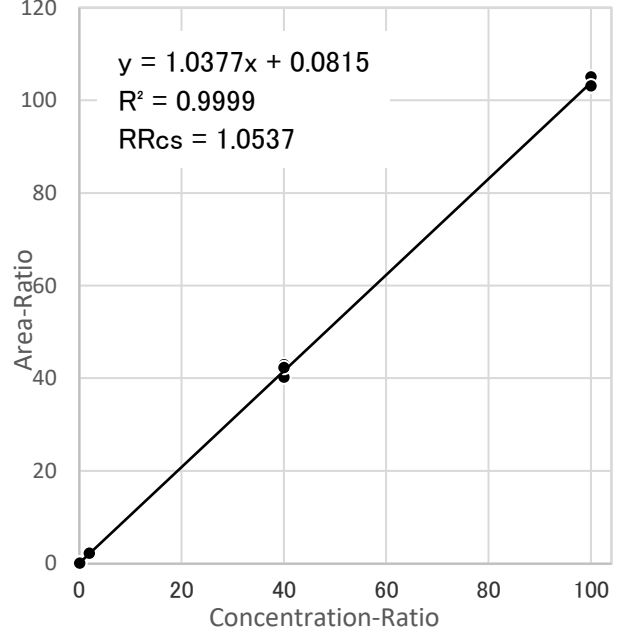
1,2,3,6,7,8-HxCDF



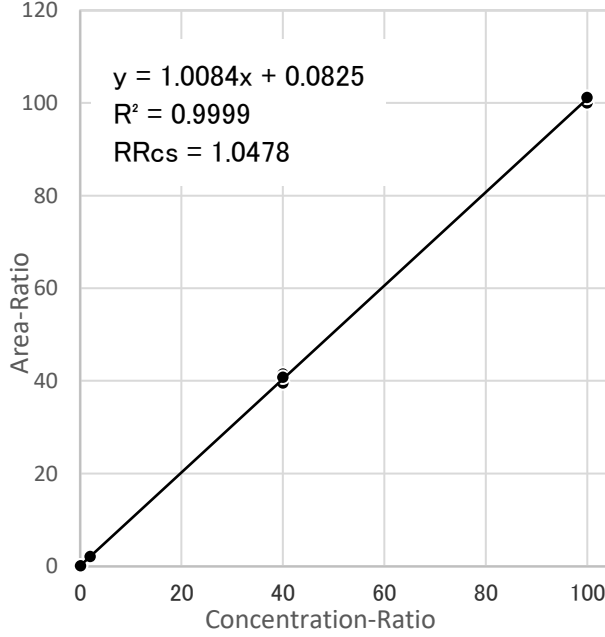
1,2,3,7,8,9-HxCDF



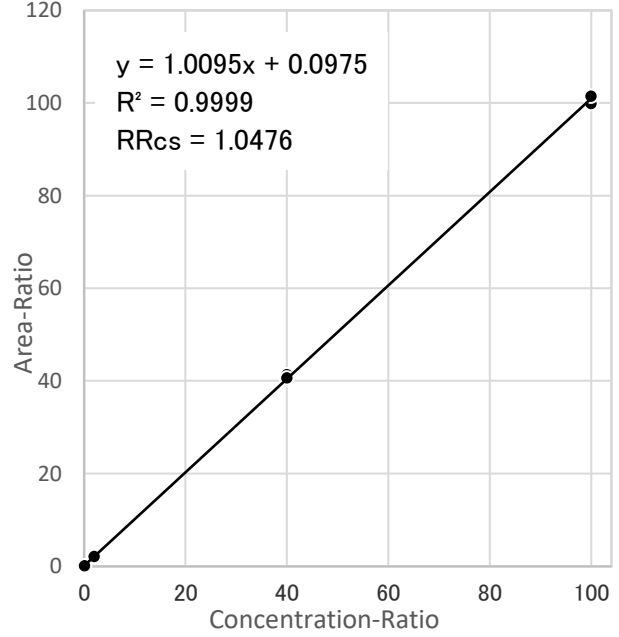
2,3,4,6,7,8-HxCDF



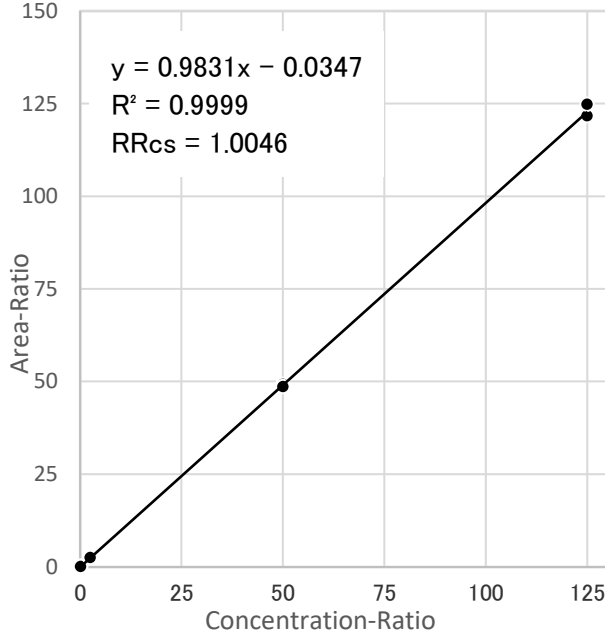
1,2,3,4,6,7,8-HpCDF



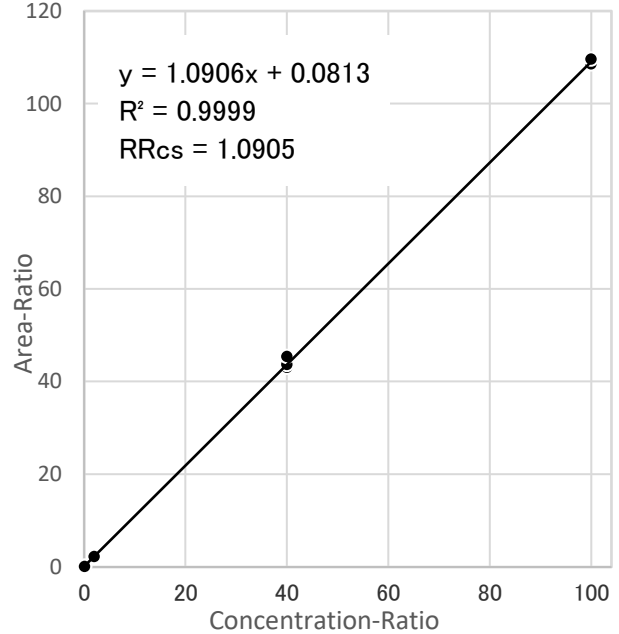
1,2,3,4,7,8,9-HpCDF



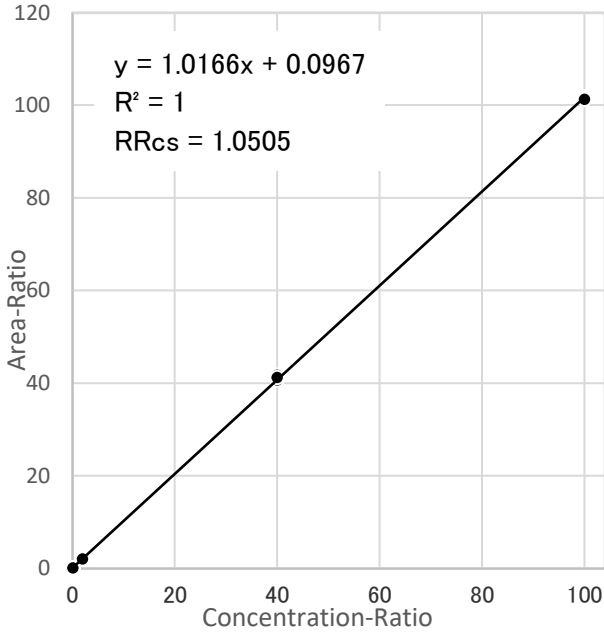
1,2,3,4,6,7,8,9-OCDF



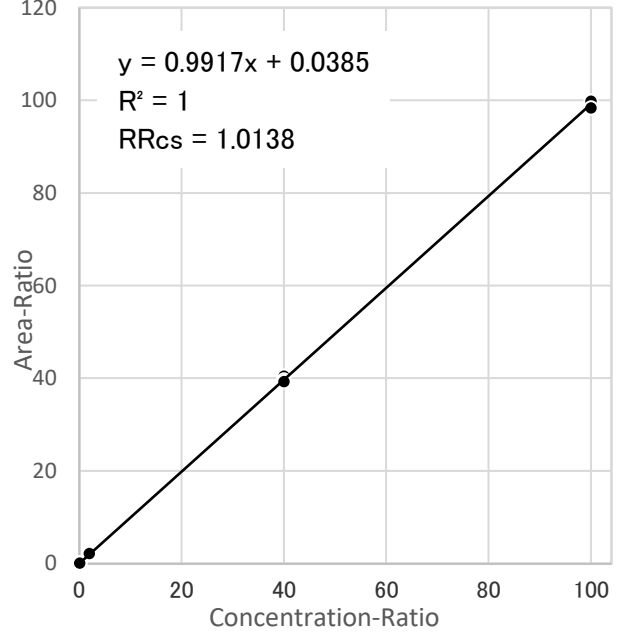
3,4,4',5-TeCB(#81)



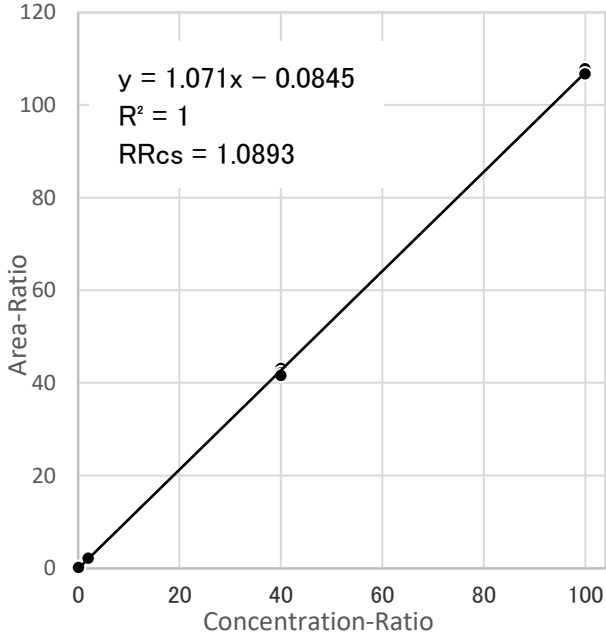
3,3',4,4'-TeCB(#77)



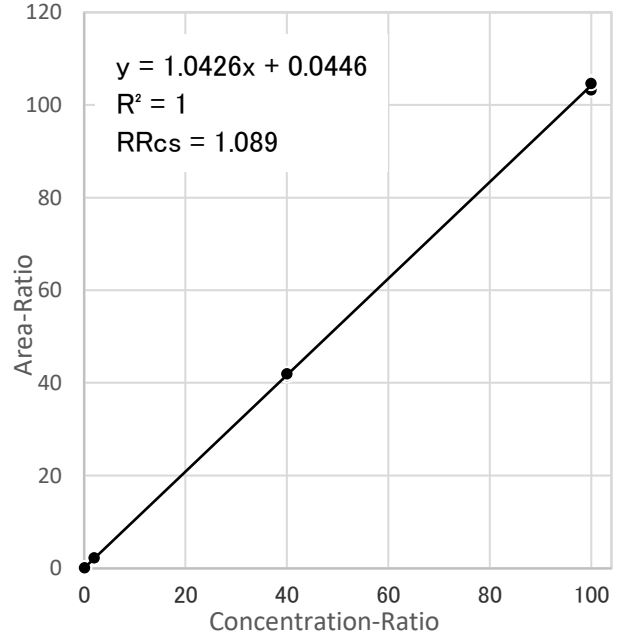
2',3,4,4',5-PeCB(#123)



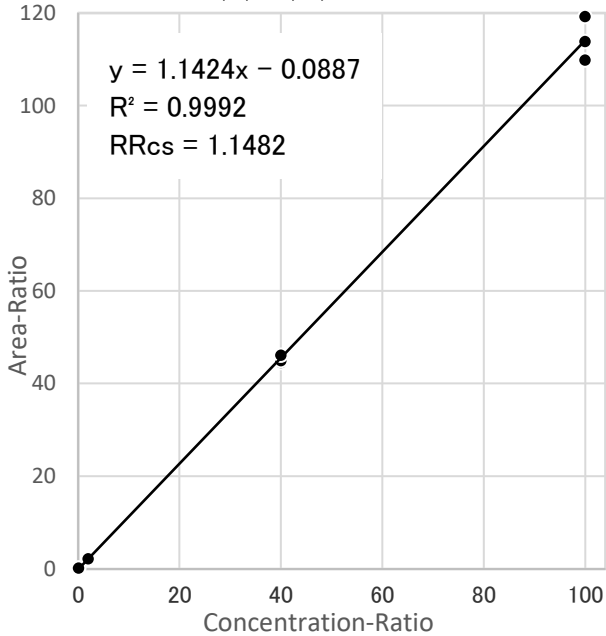
2,3,3',4,4'-PeCB(#105)



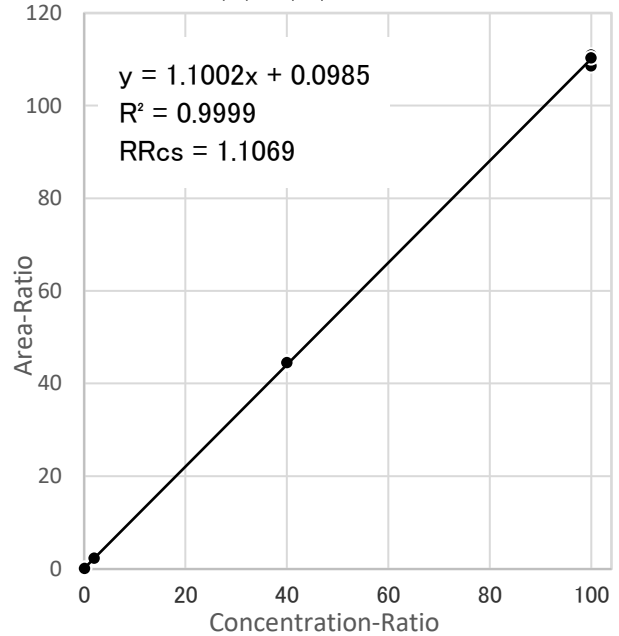
3,3',4,4',5-PeCB(#126)



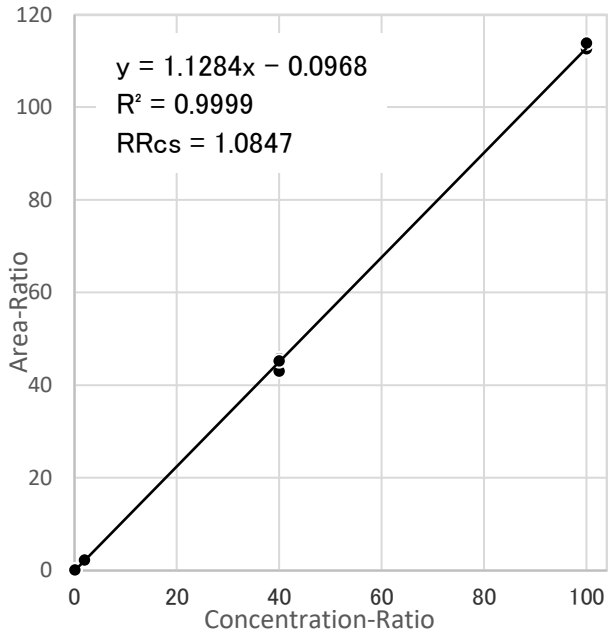
2,3,3',4,4',5-HxCB(#156)



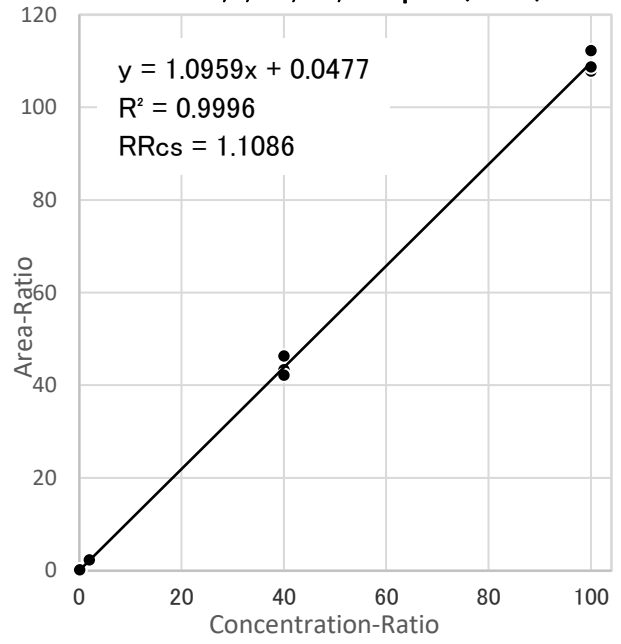
2,3,3',4,4',5'-HxCB(#157)



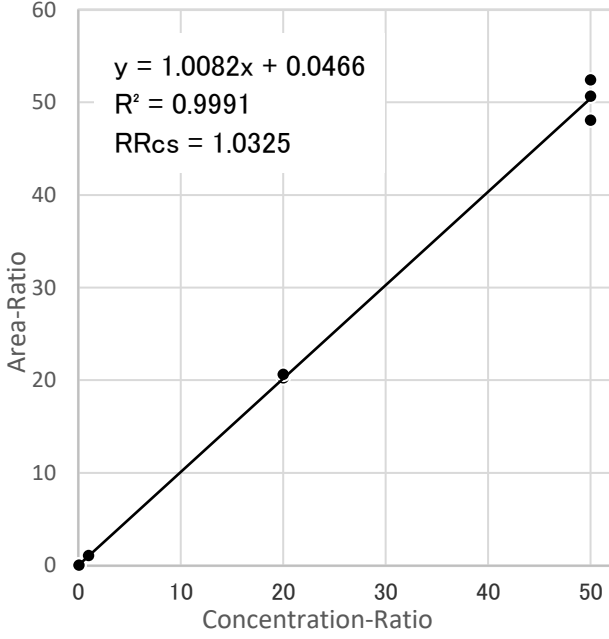
3,3',4,4',5,5'-HxCB(#169)



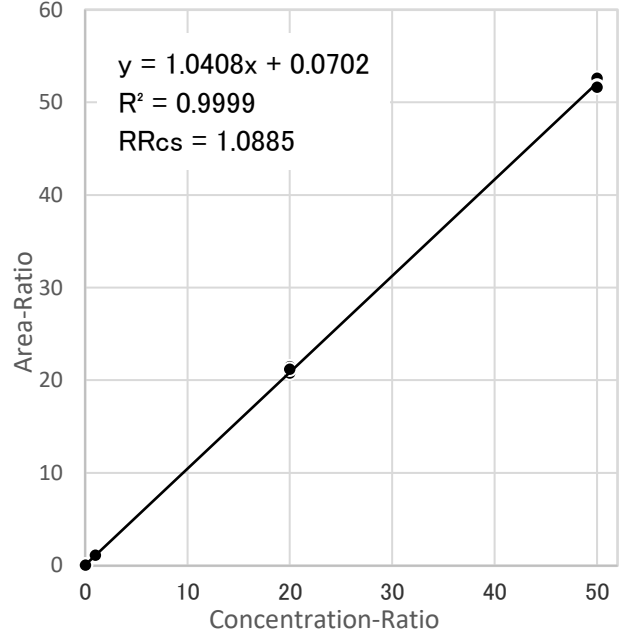
2,3,3',4,4',5,5'-HpCB(#189)



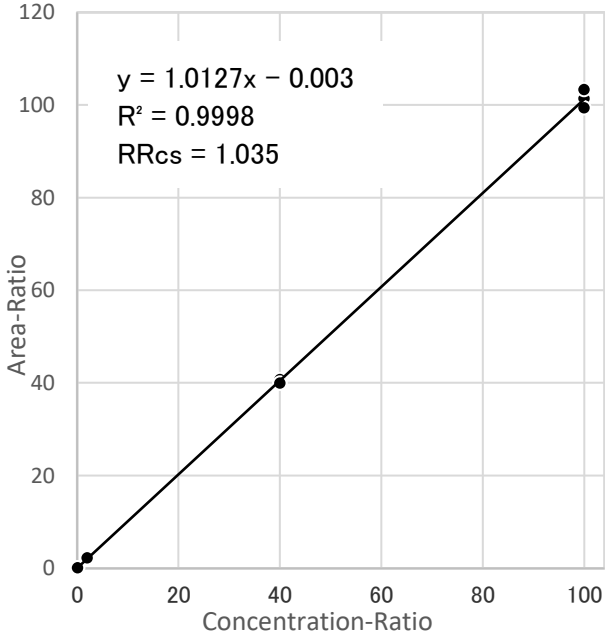
2,3,7,8-TeCDD



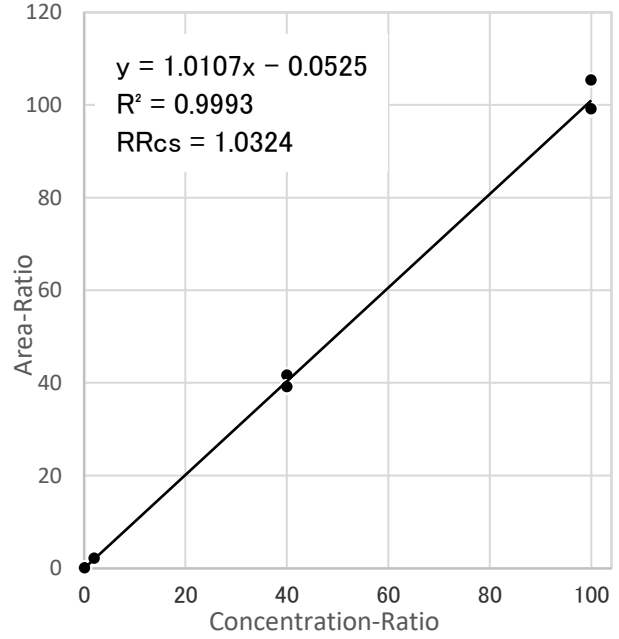
1,2,3,7,8-PeCDD



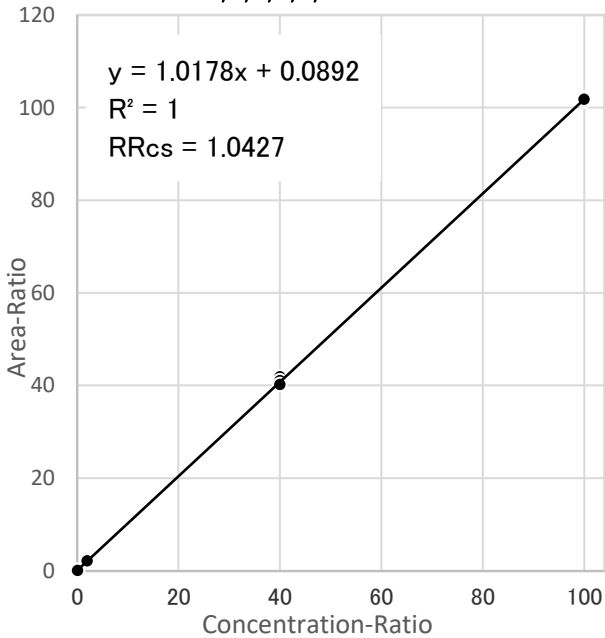
1,2,3,4,7,8-HxCDD



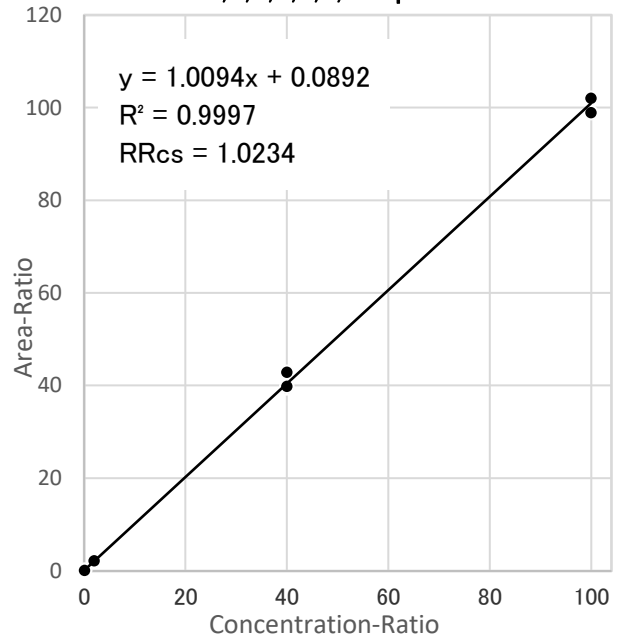
1,2,3,6,7,8-HxCDD



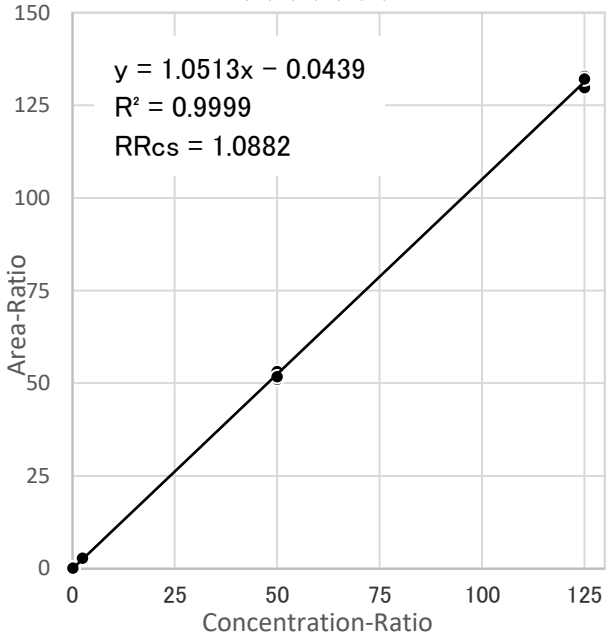
1,2,3,7,8,9-HxCDD



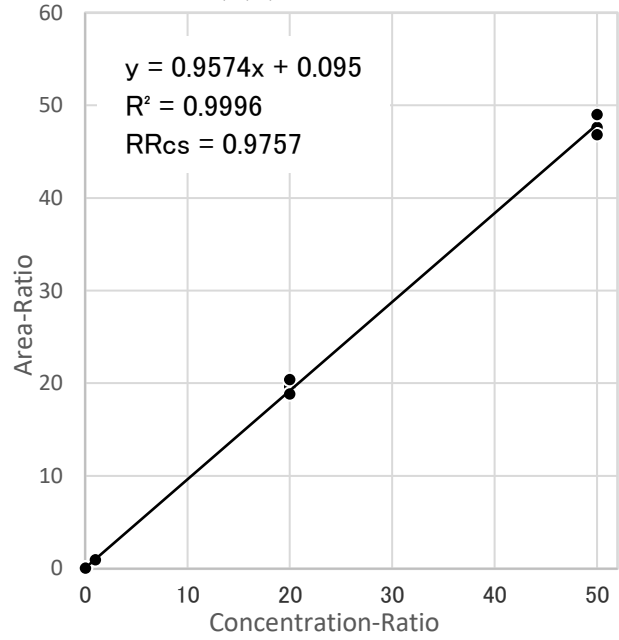
1,2,3,4,6,7,8-HpCDD



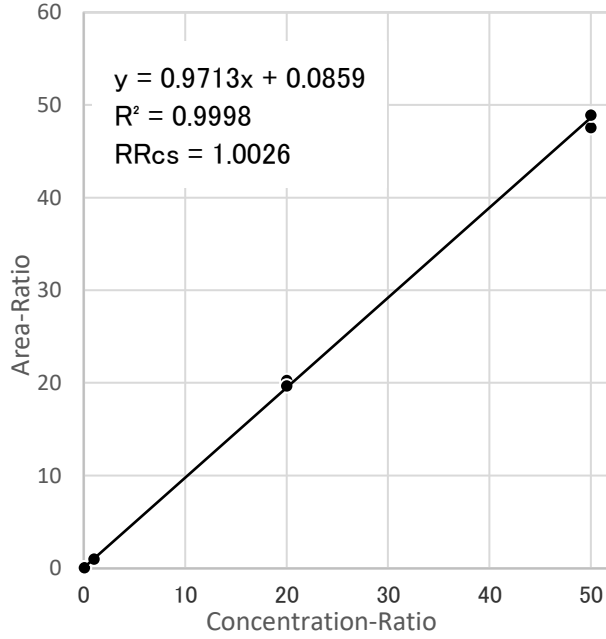
1,2,3,4,6,7,8,9-OCDD



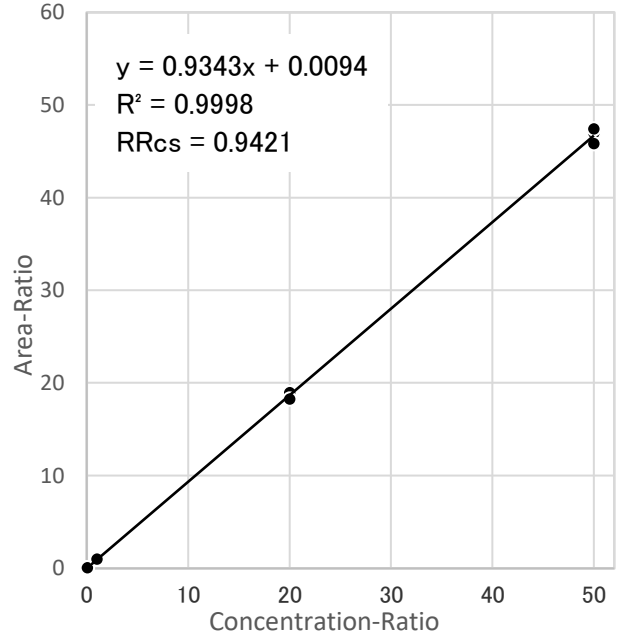
2,3,7,8-TeCDF



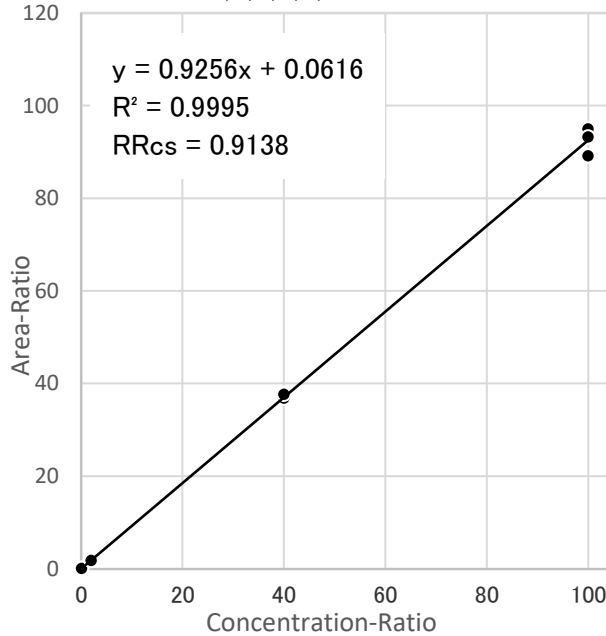
1,2,3,7,8-PeCDF



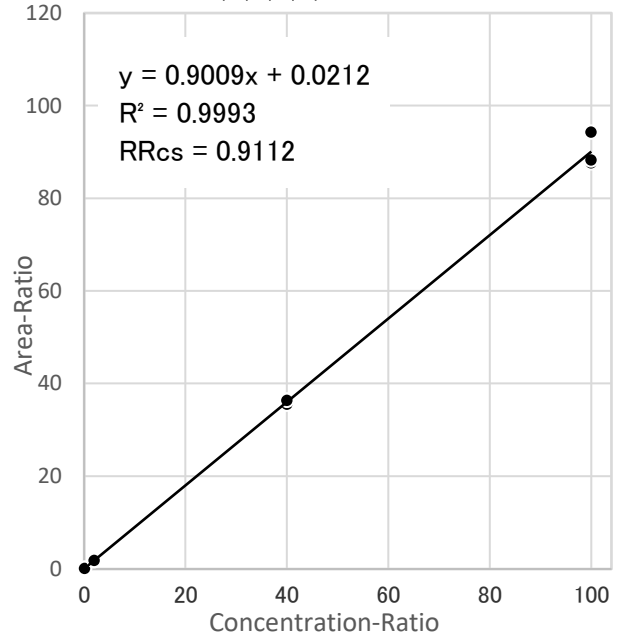
2,3,4,7,8-PeCDF



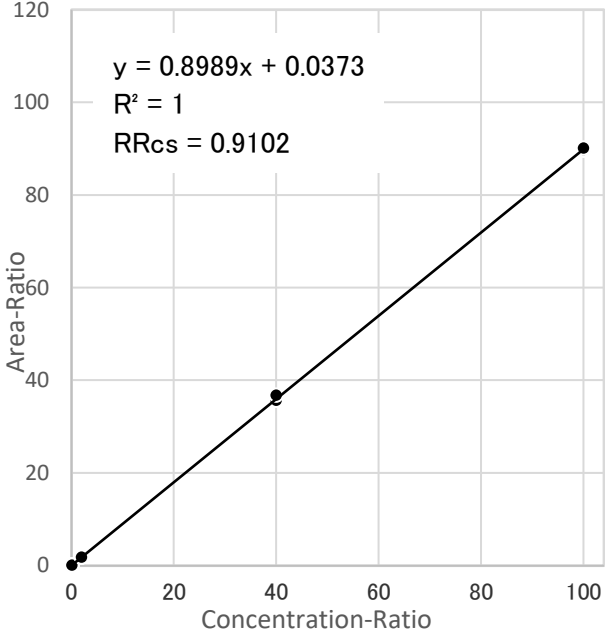
1,2,3,4,7,8-HxCDF



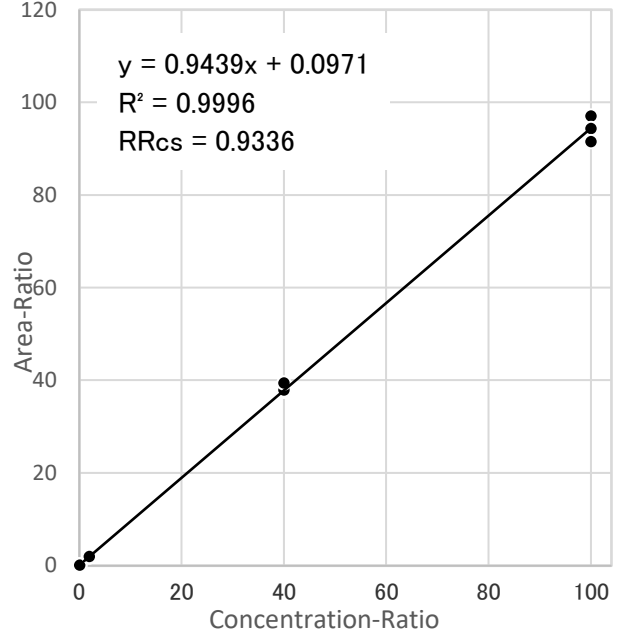
1,2,3,6,7,8-HxCDF



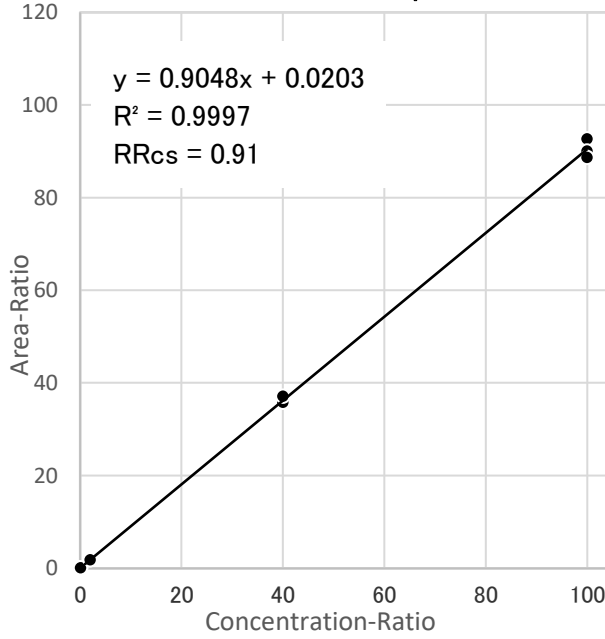
1,2,3,7,8,9-HxCDF



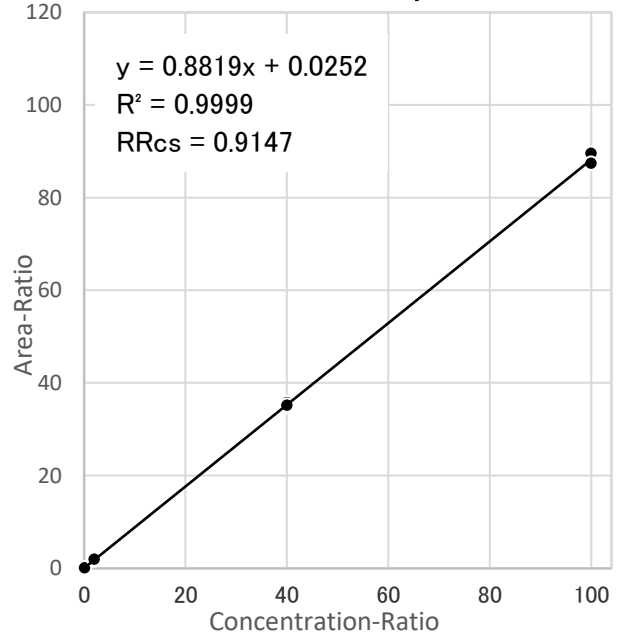
2,3,4,6,7,8-HxCDF



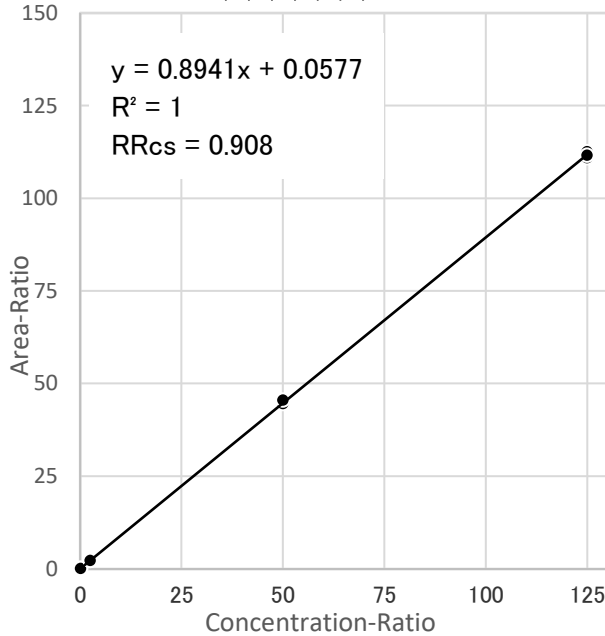
1,2,3,4,6,7,8-HpCDF



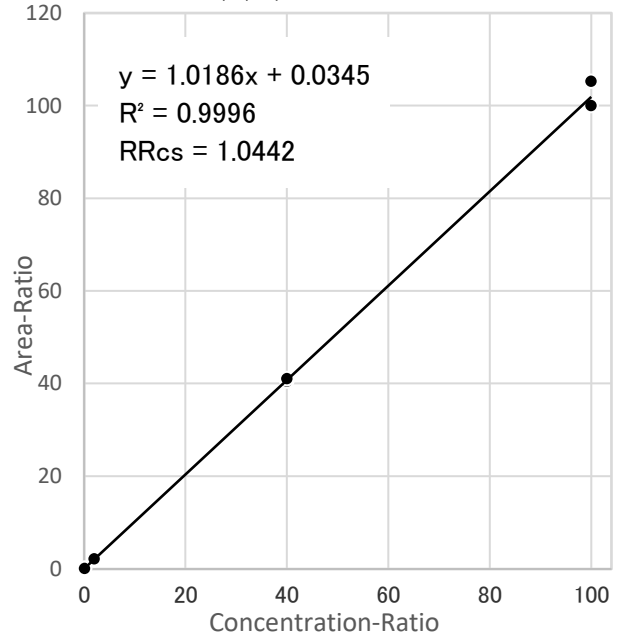
1,2,3,4,7,8,9-HpCDF

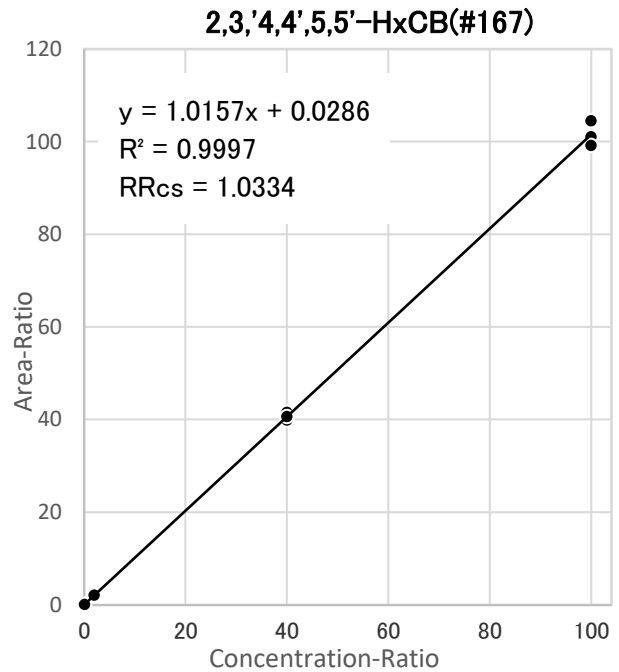
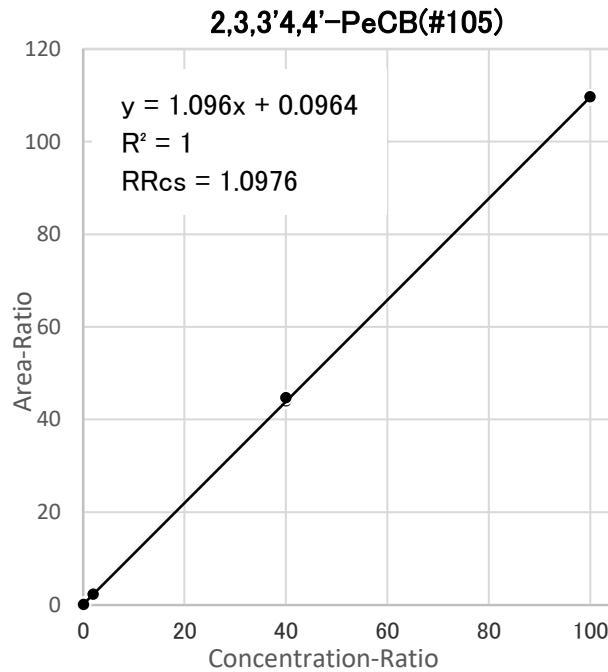
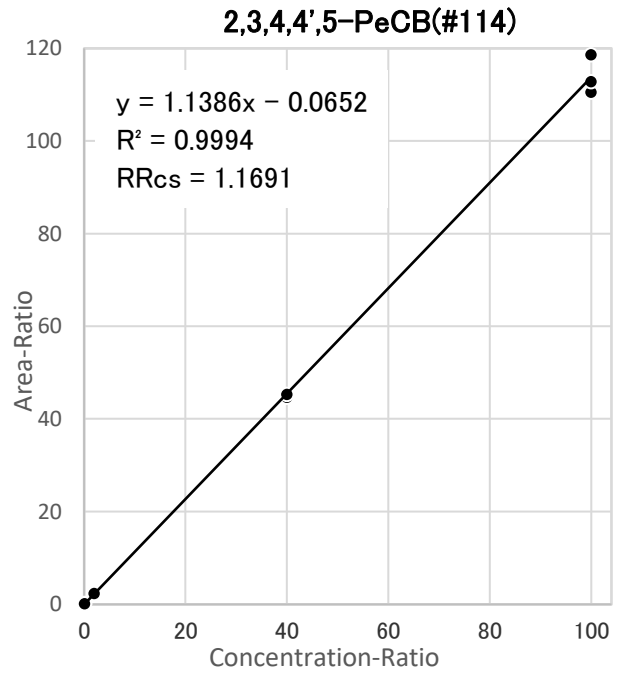
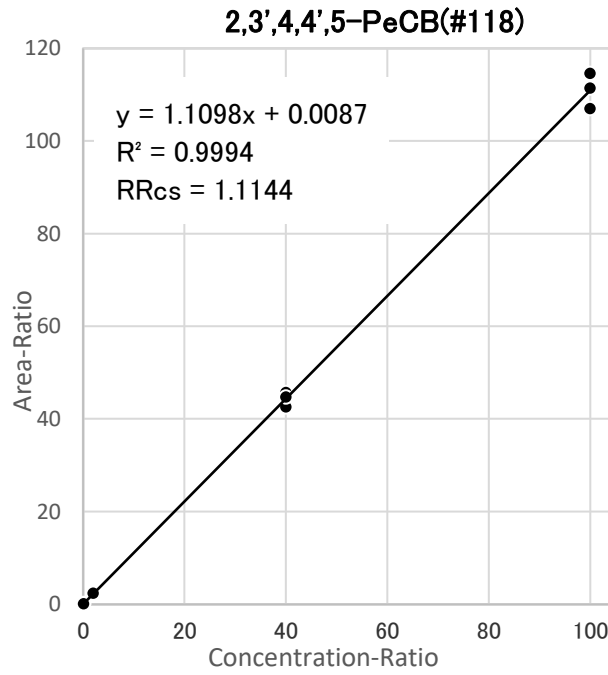
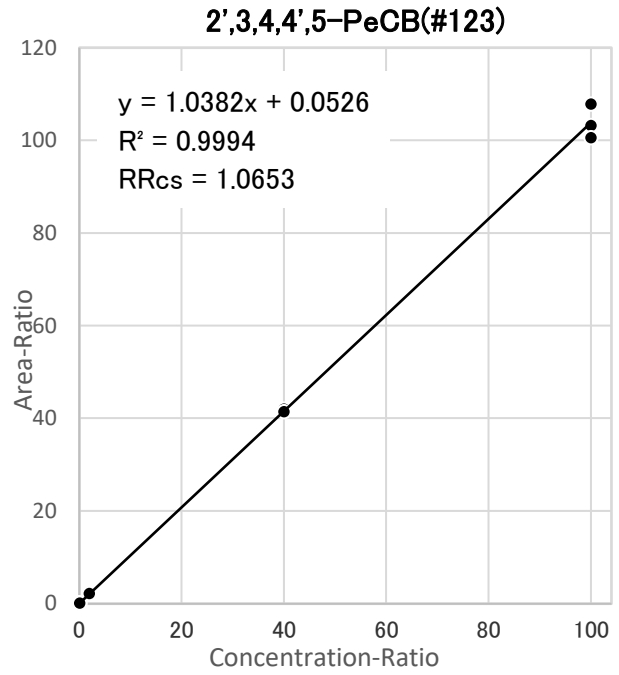
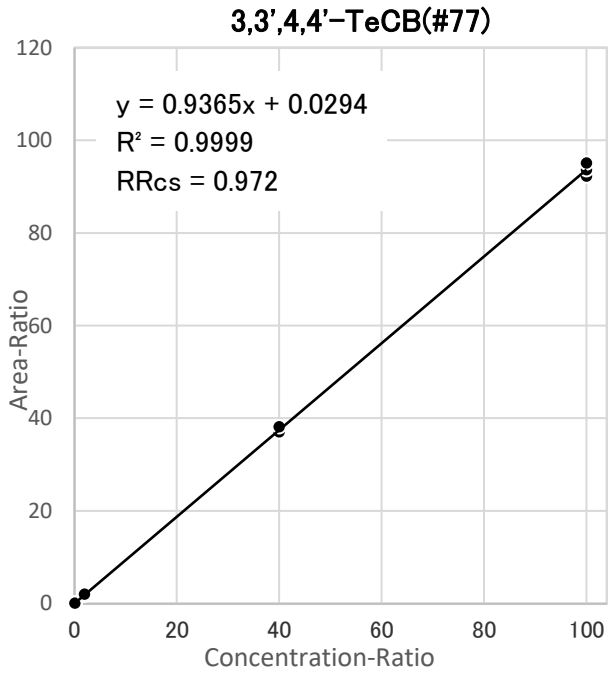


1,2,3,4,6,7,8,9-OCDF

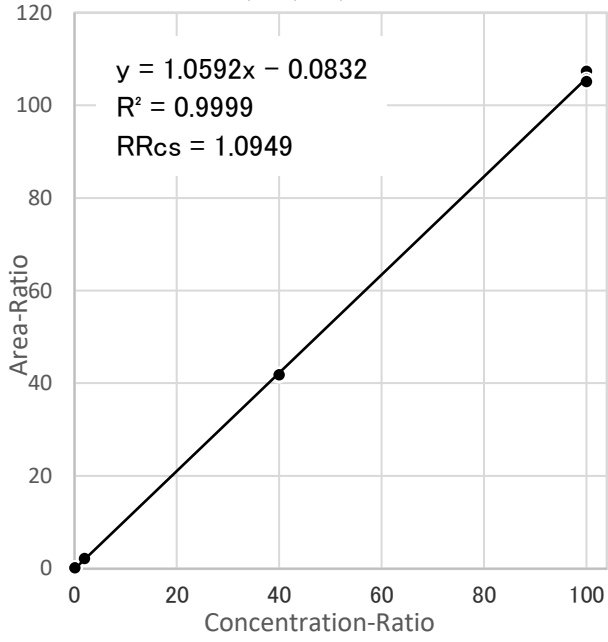


3,4,4',5-TeCB(#81)

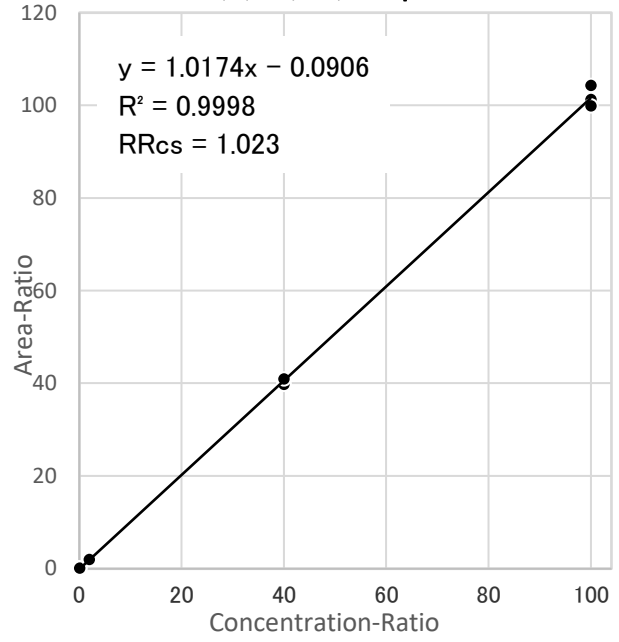




3,3',4,4',5,5'-HxCB(#169)



2,3,3',4,4',5,5'-HpCB(#189)

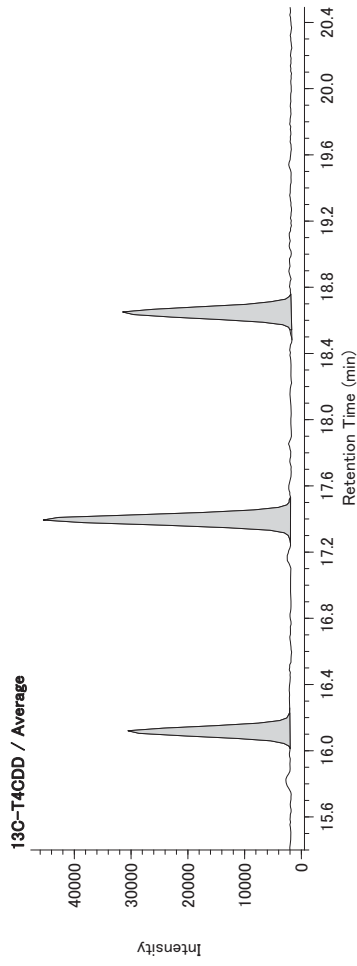
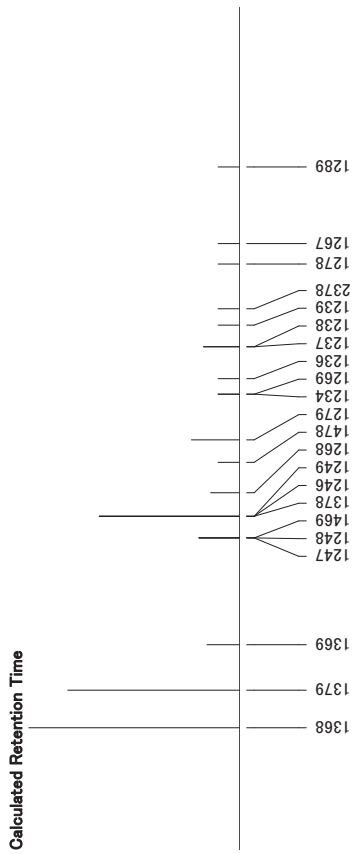
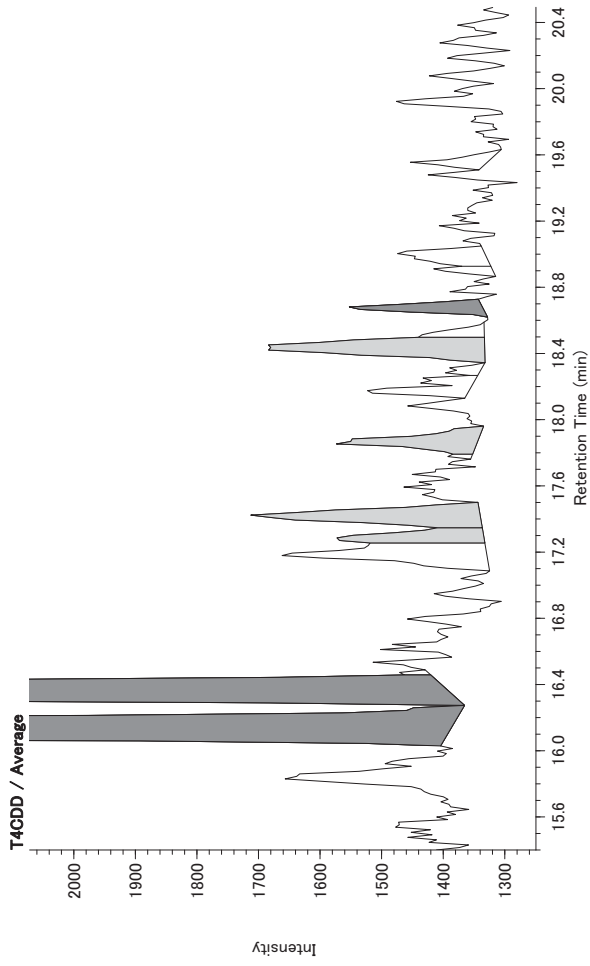
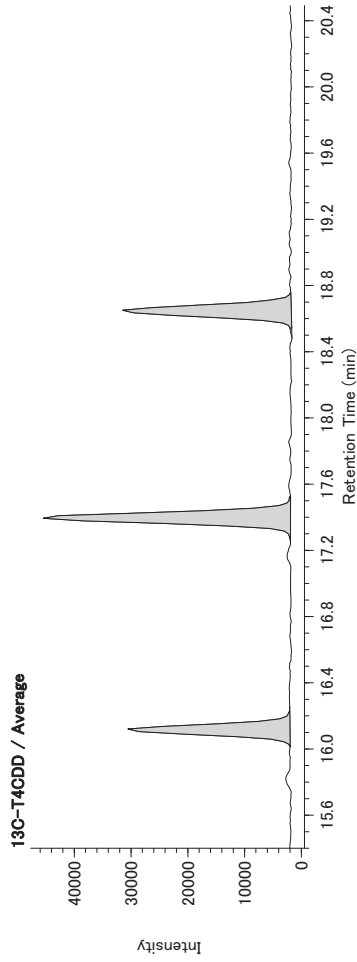
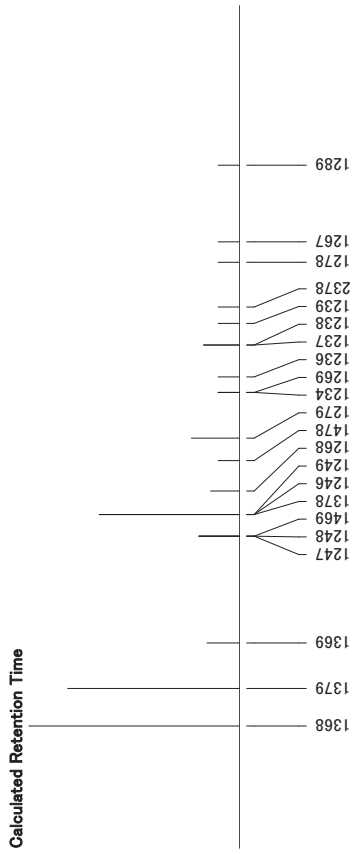
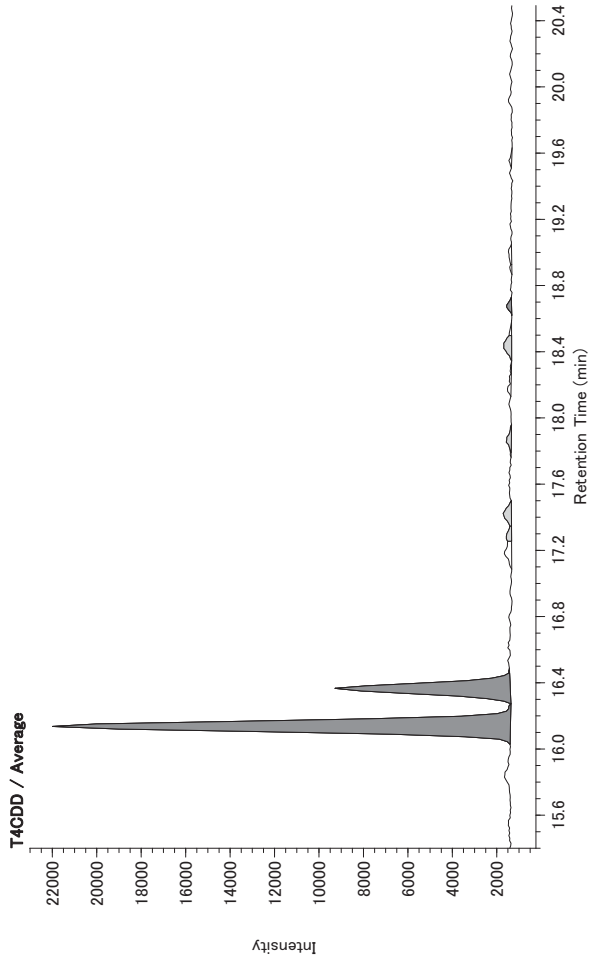


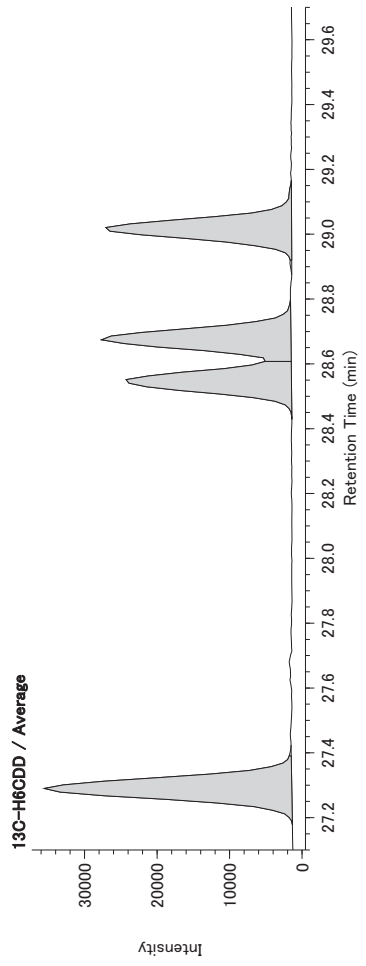
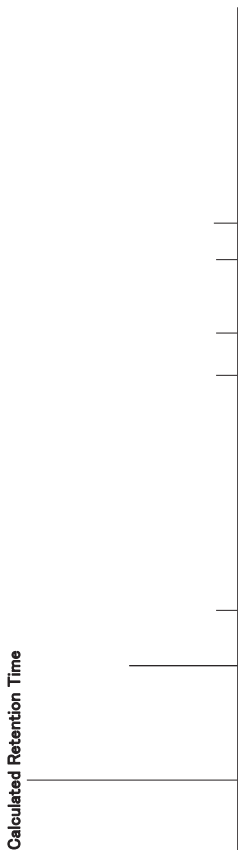
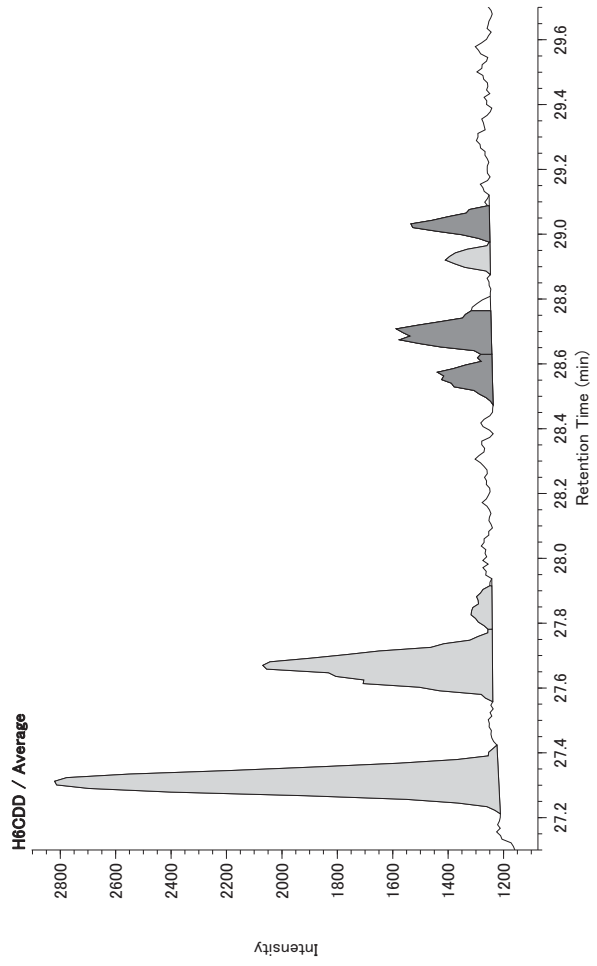
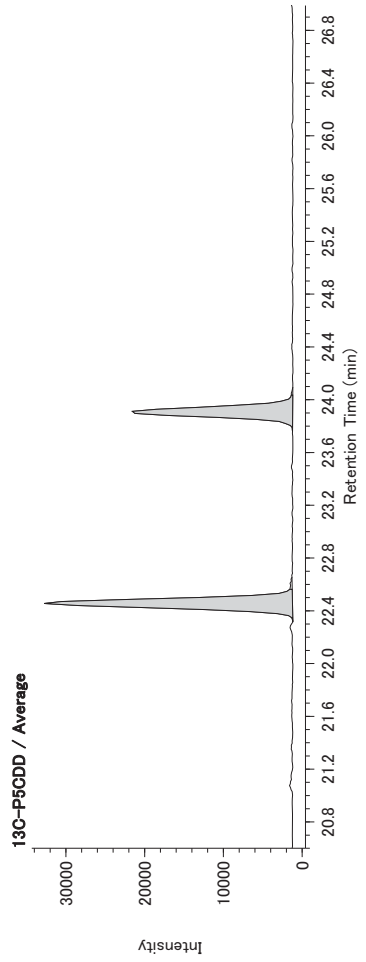
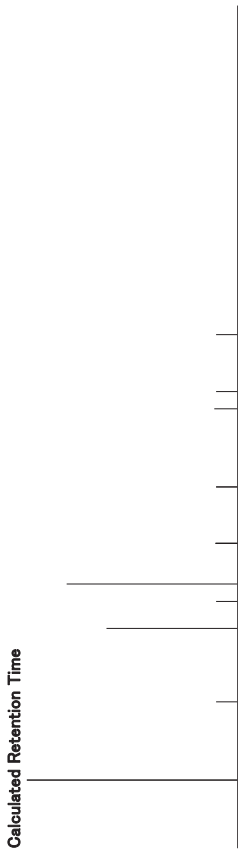
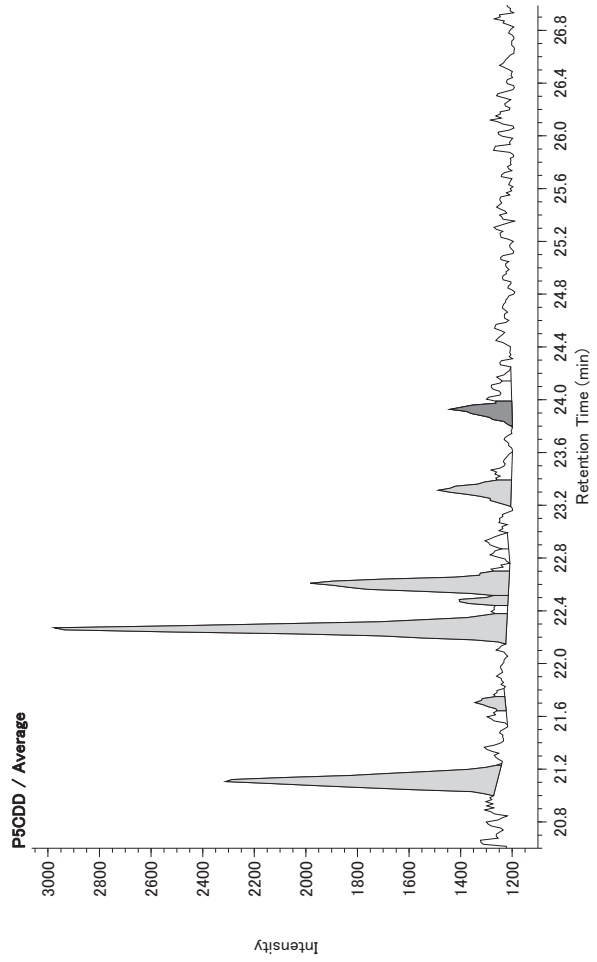
<資料-4> クロマトグラム

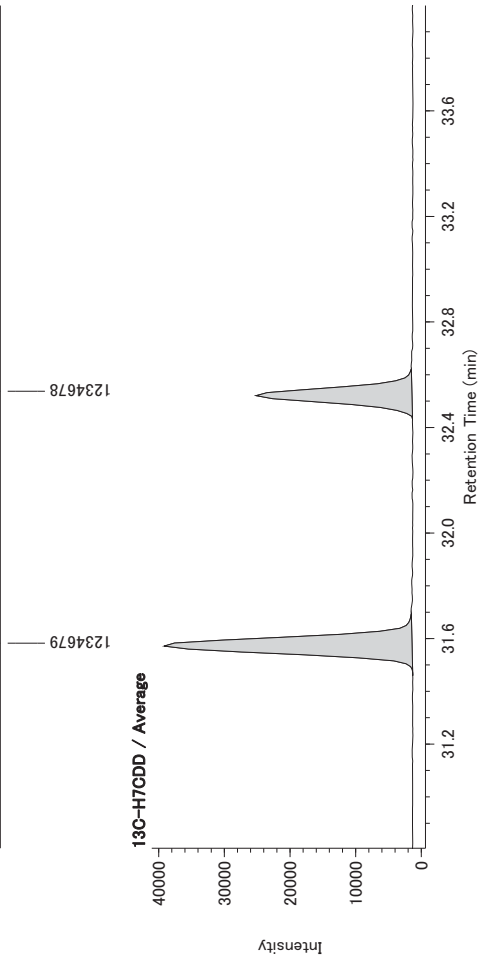
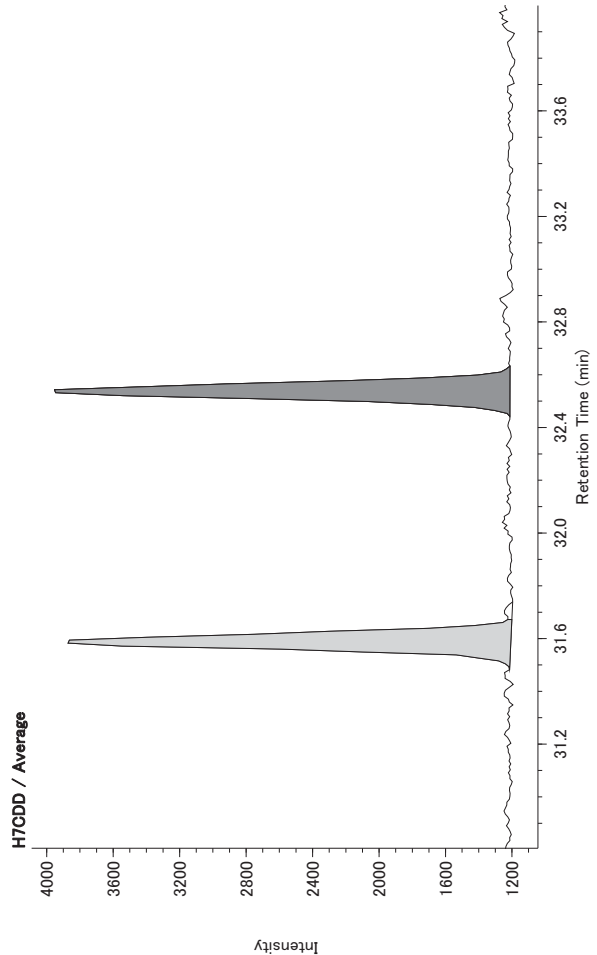
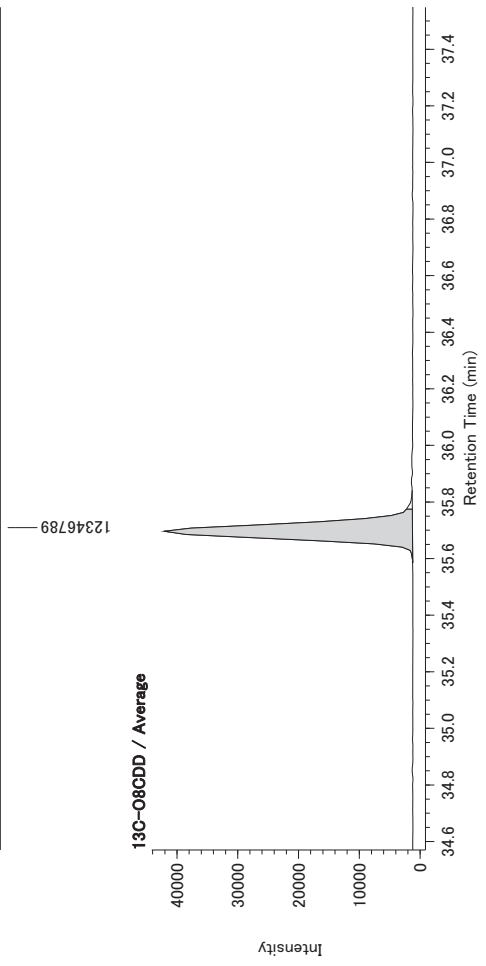
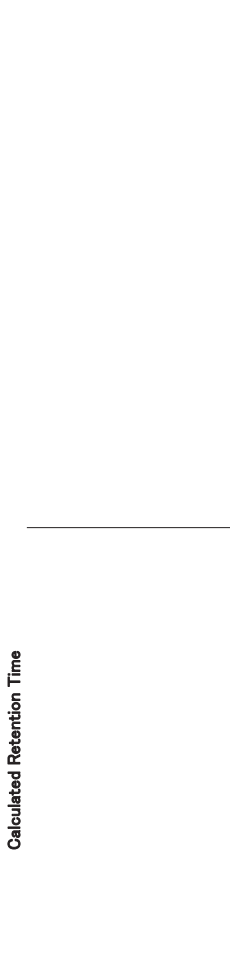
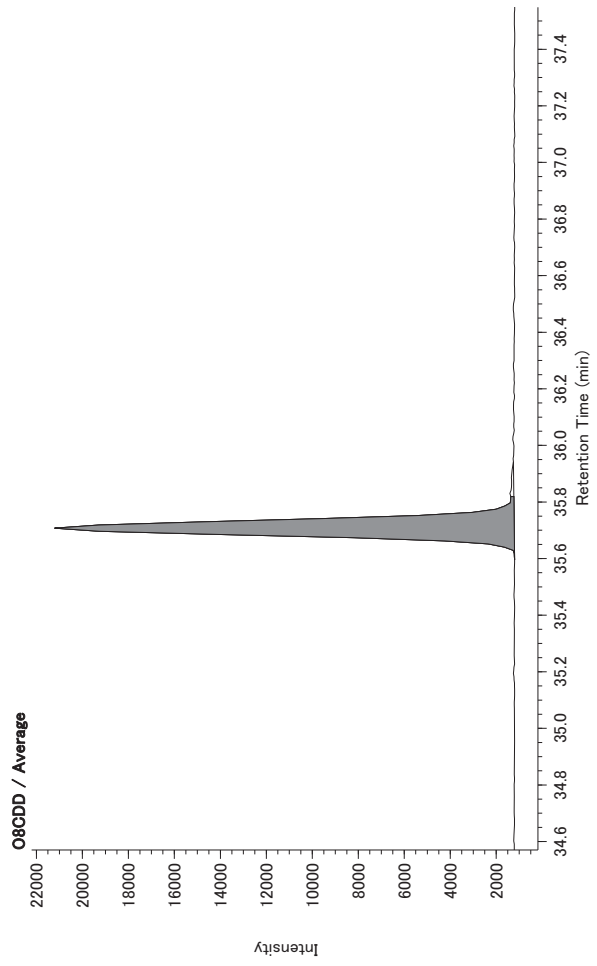
22HS12478P

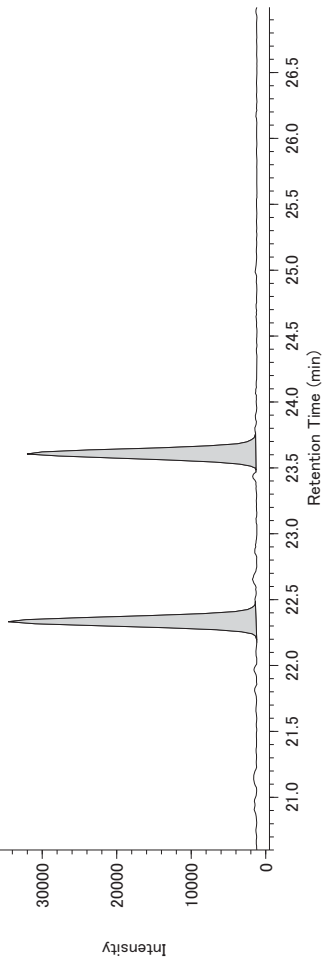
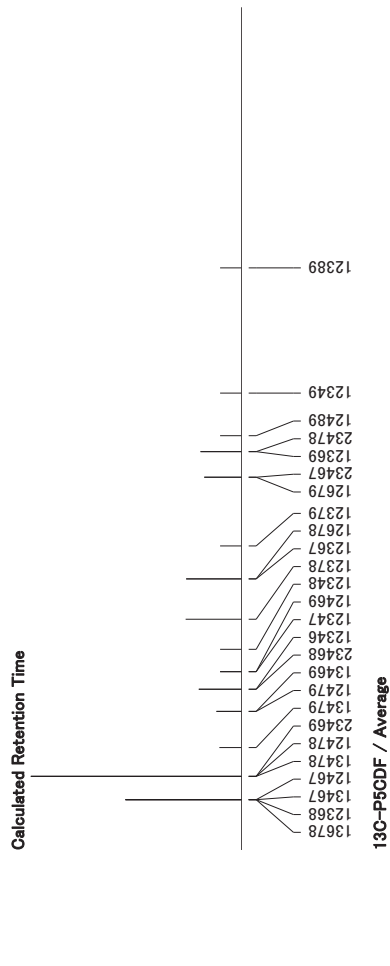
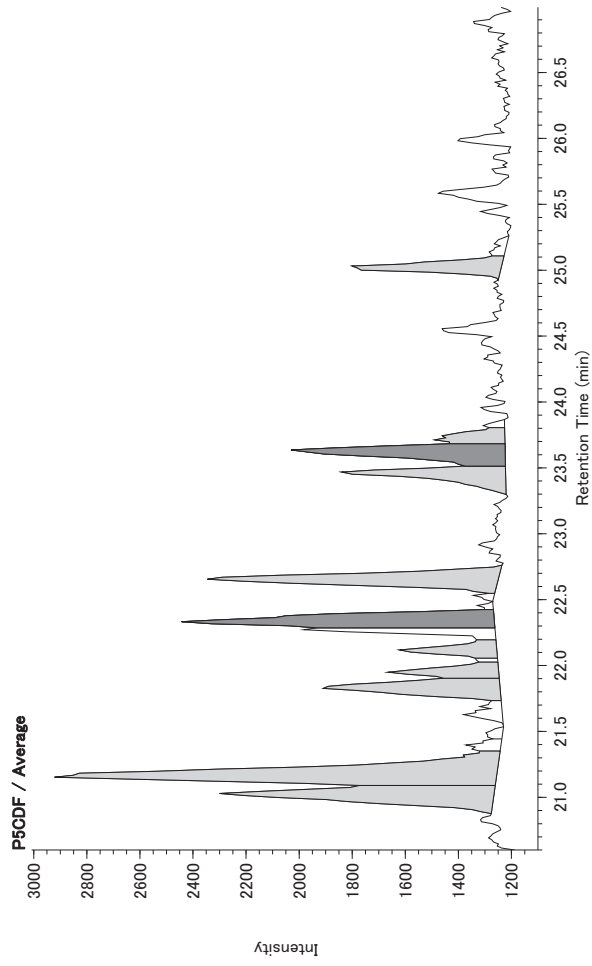
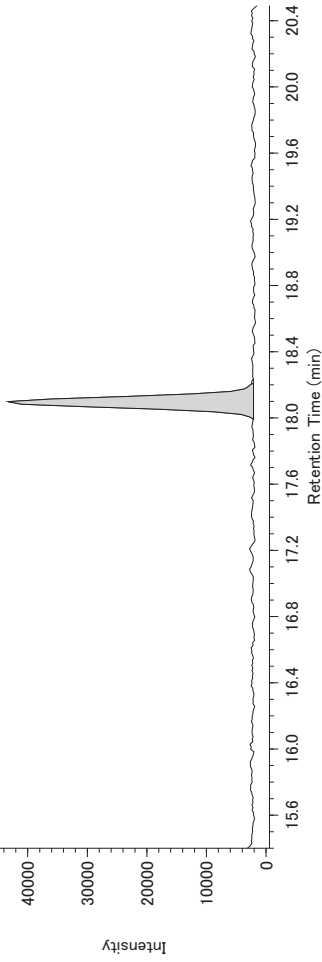
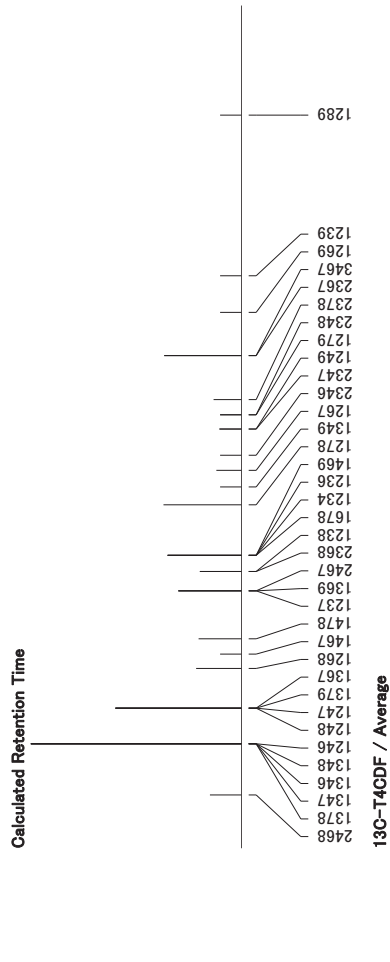
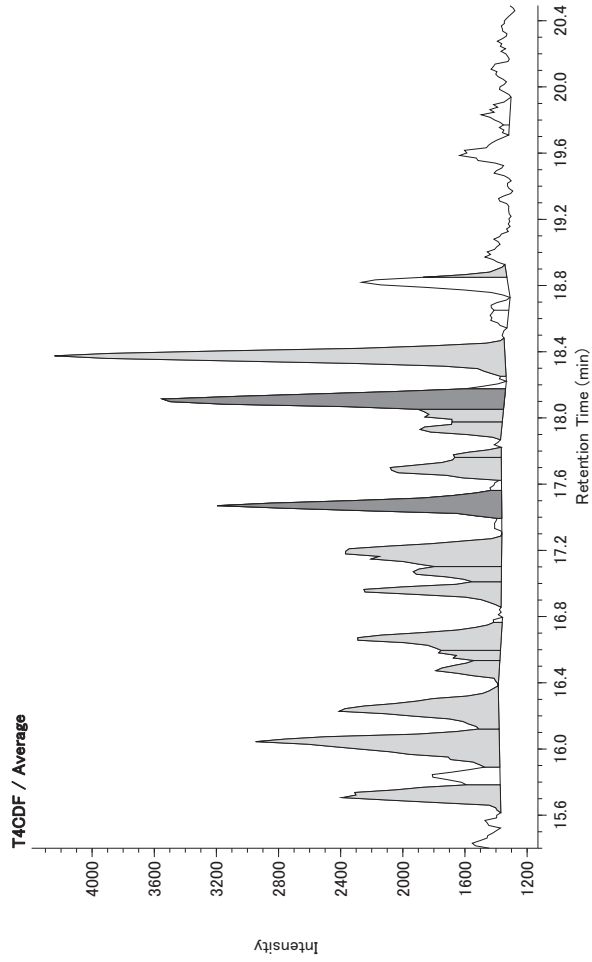
煙道内焼却残渣

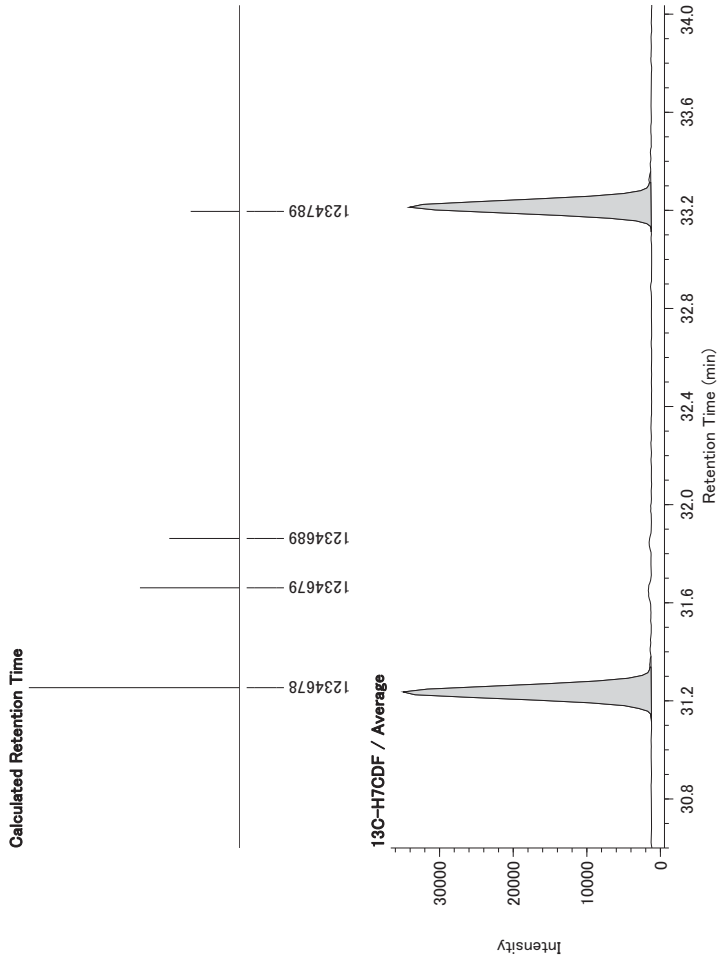
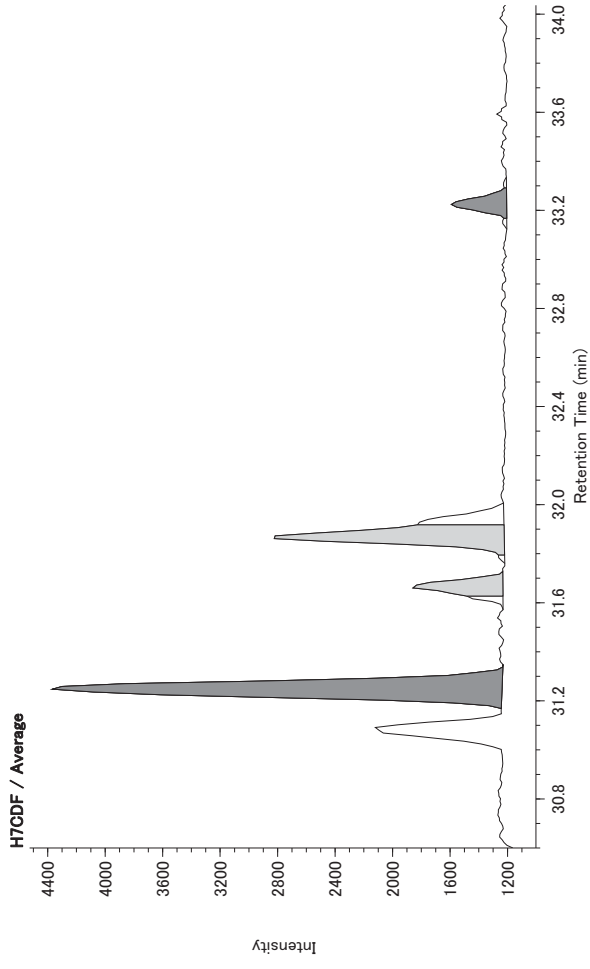
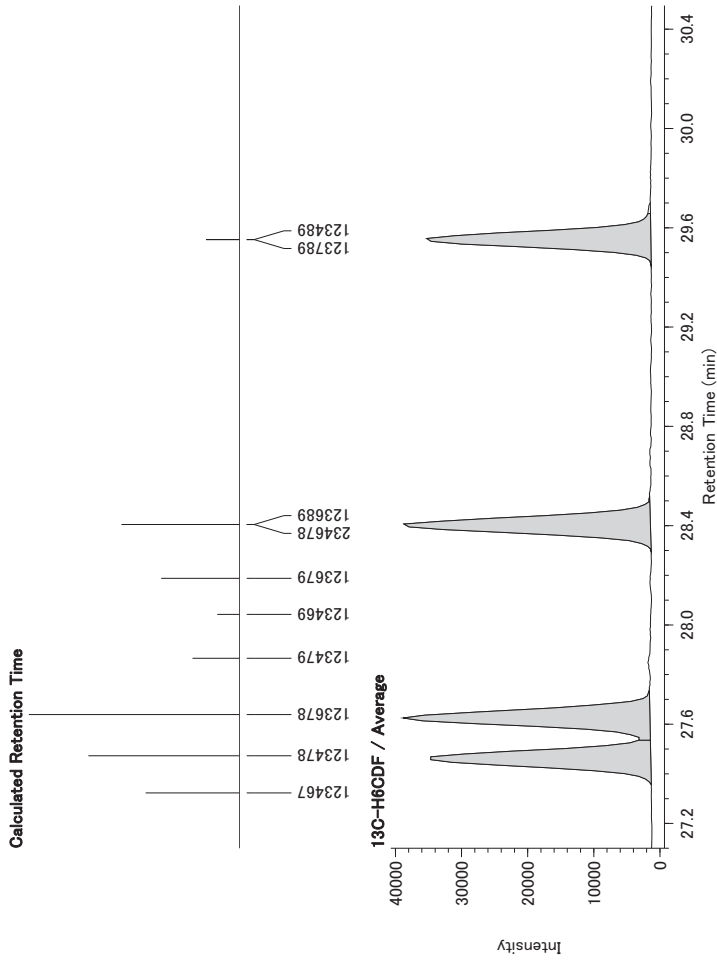
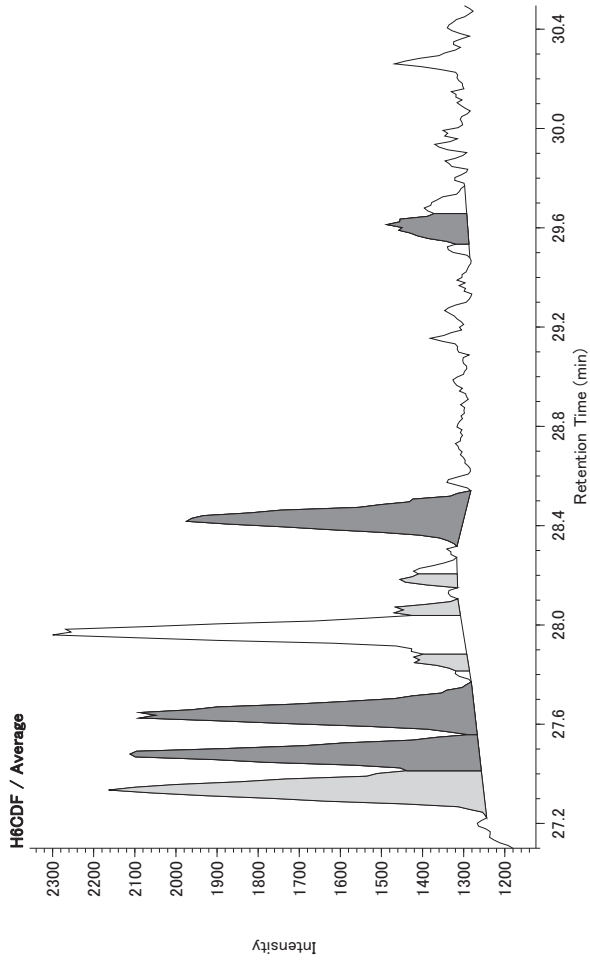
どらドラパーク米子市民体育館
機械室 煙道









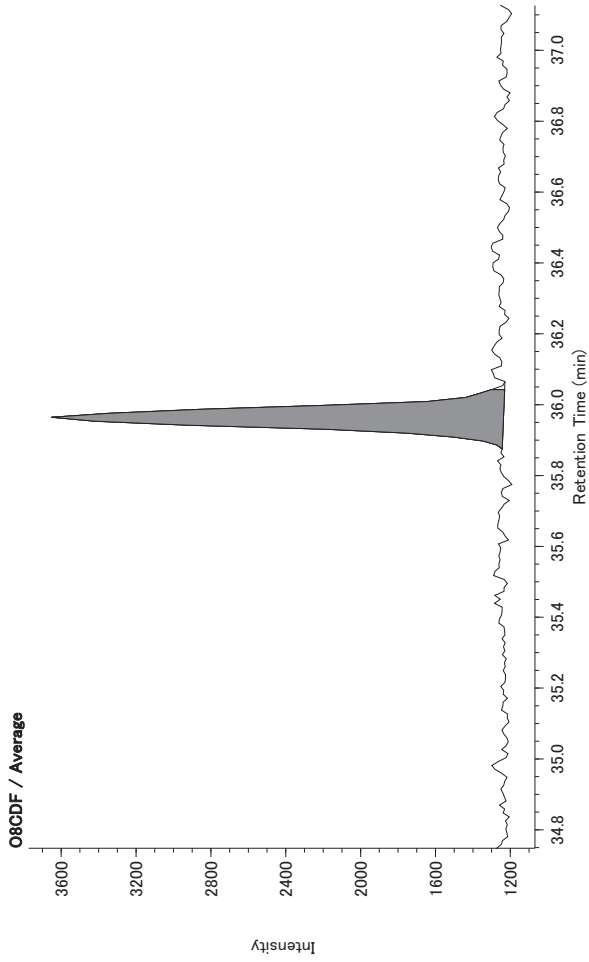


DQ Main View

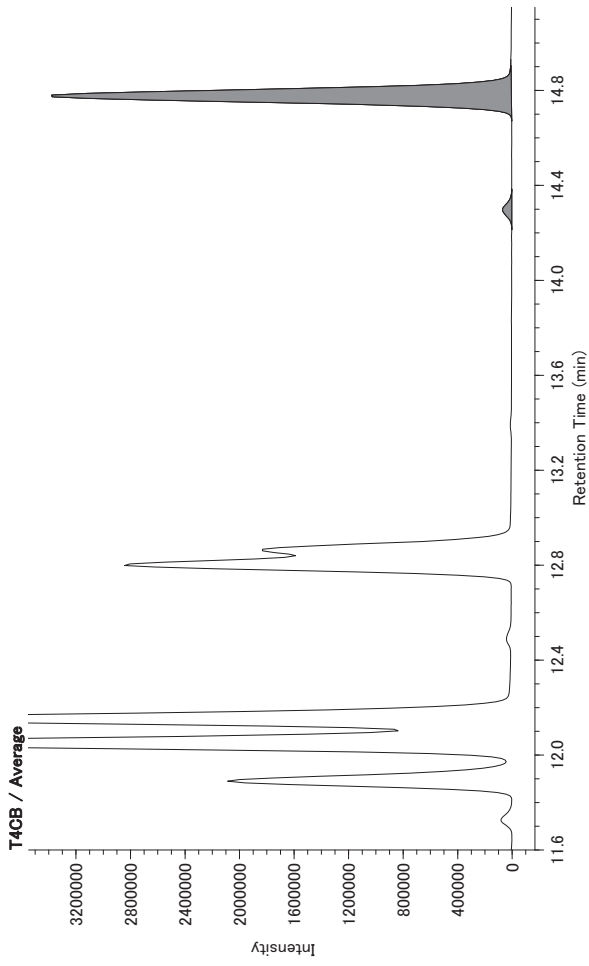
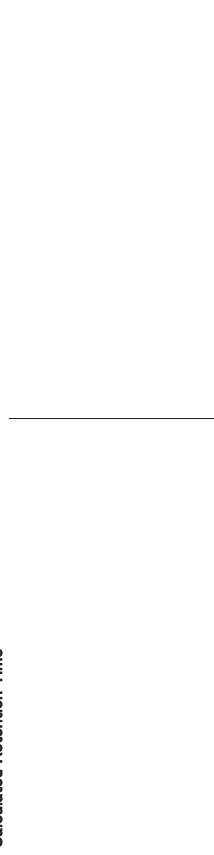
DqData: si2023-0313-BPX-1 (), Injection= 2023-0313-BPX-009 (UNK) 22hs12478
Original: 2023-0313-BPX-003.mfl, InjectionNo= 6, Sample= , Date= 2023/3/13 20:46:55

DQ Main View

JEOL DioK V4.02 2023/03/14 18:10:14 Page 10
DqData: si2023-0313-BPX-1 (), Injection= 2023-0313-BPX-009 (UNK) 22hs12478
Original: 2023-0313-BPX-003.mfl, InjectionNo= 6, Sample= , Date= 2023/3/13 20:46:55



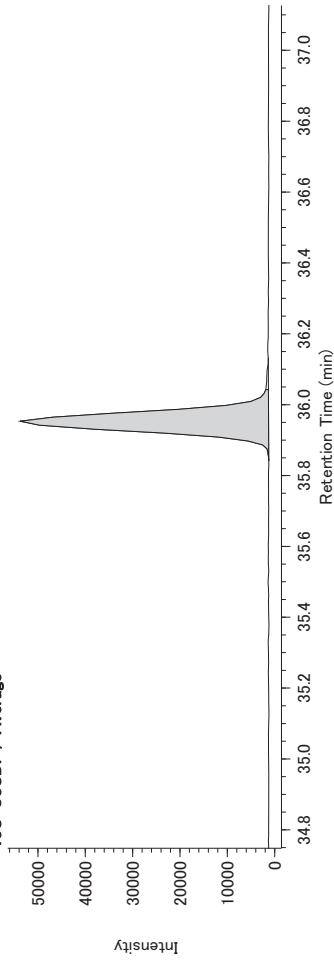
Calculated Retention Time



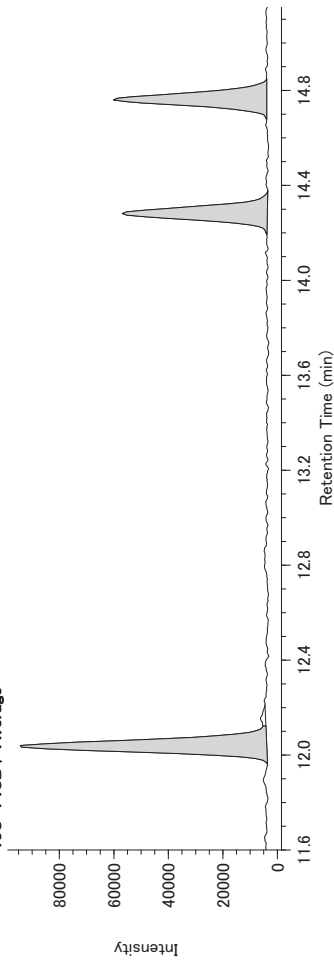
Calculated Retention Time

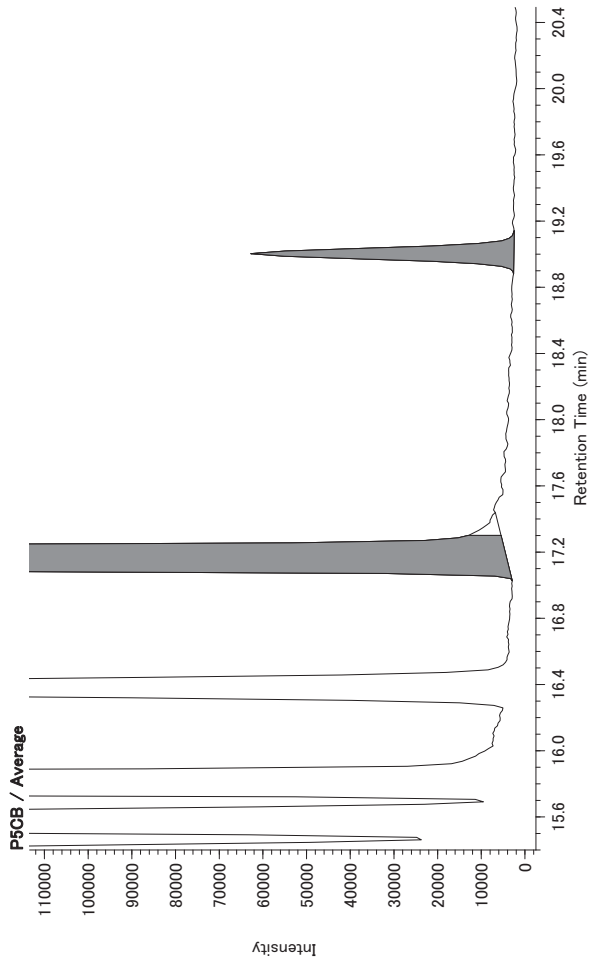


13C-O8CDF / Average

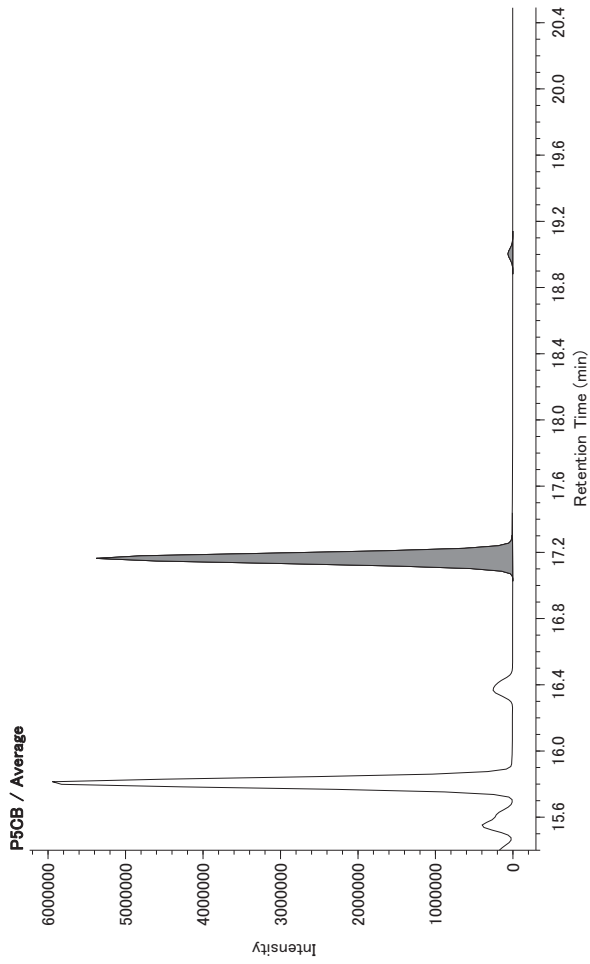
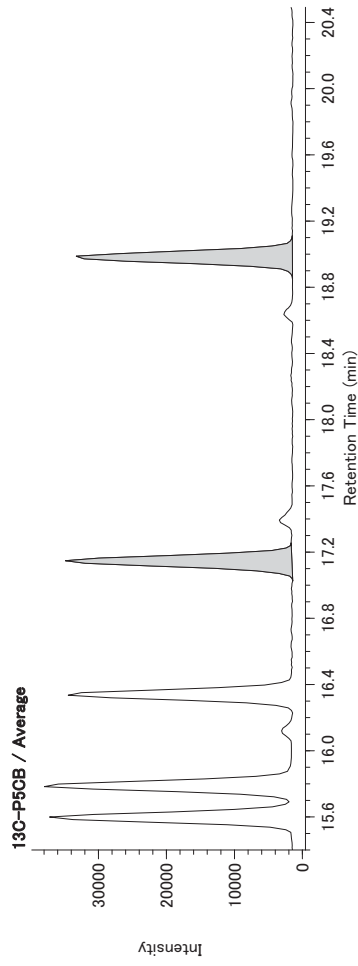
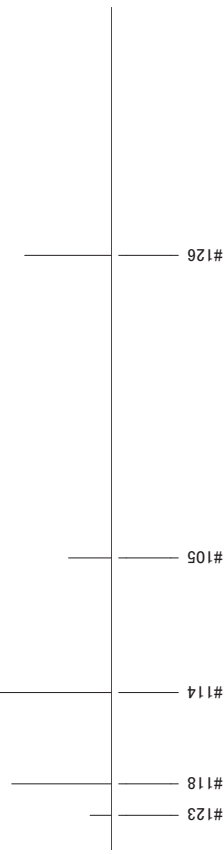


13C-T4CB / Average

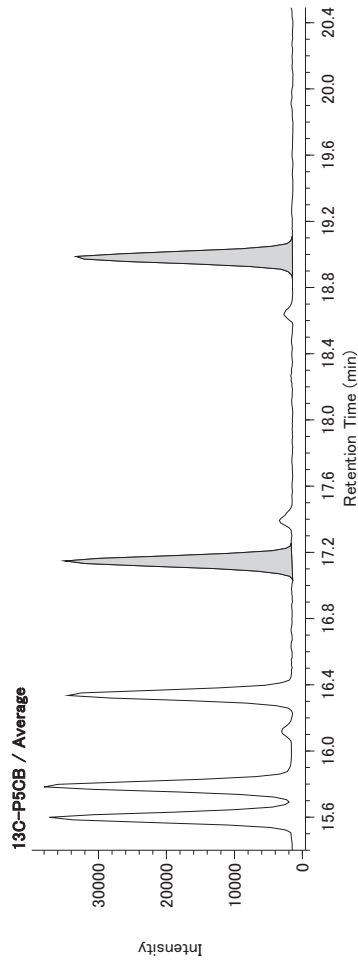
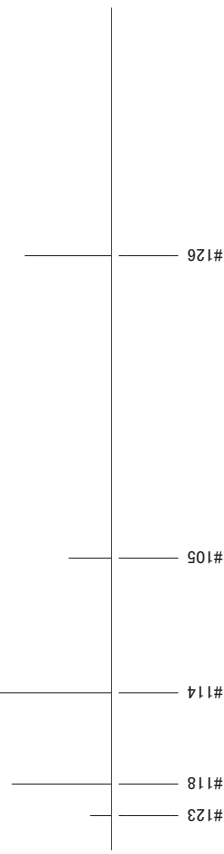


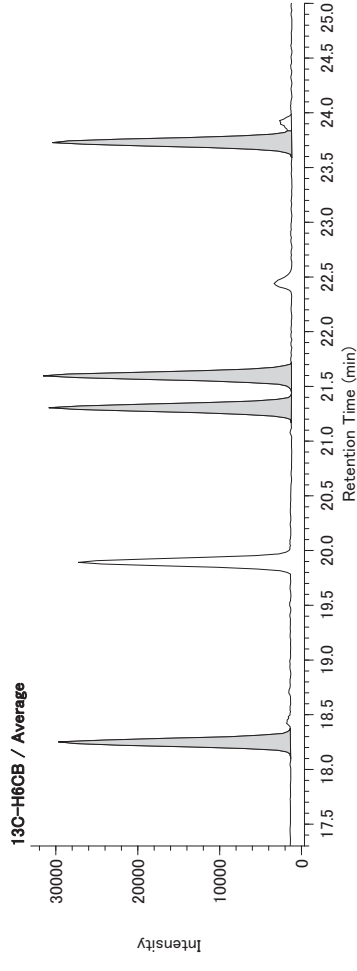
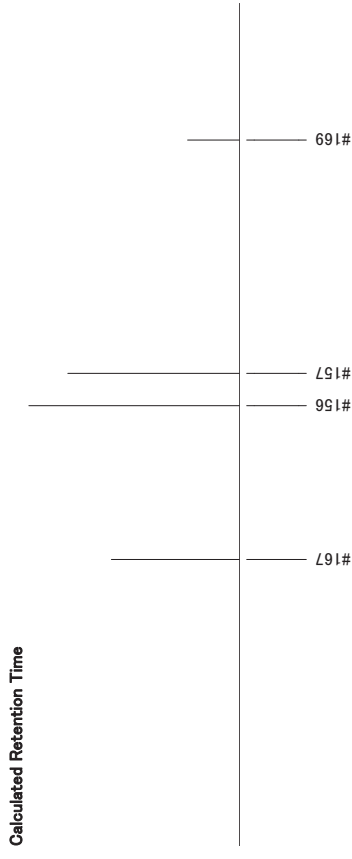
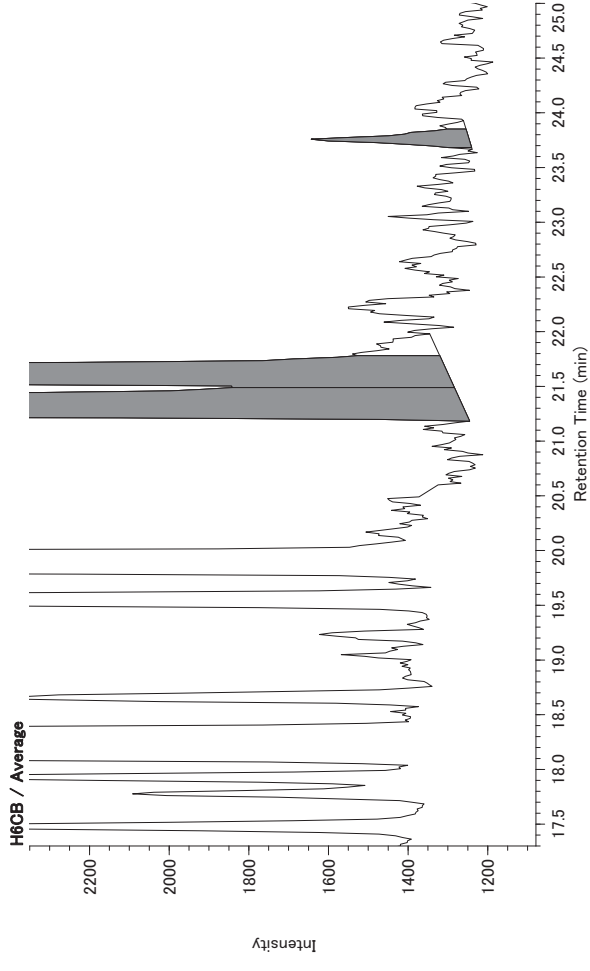
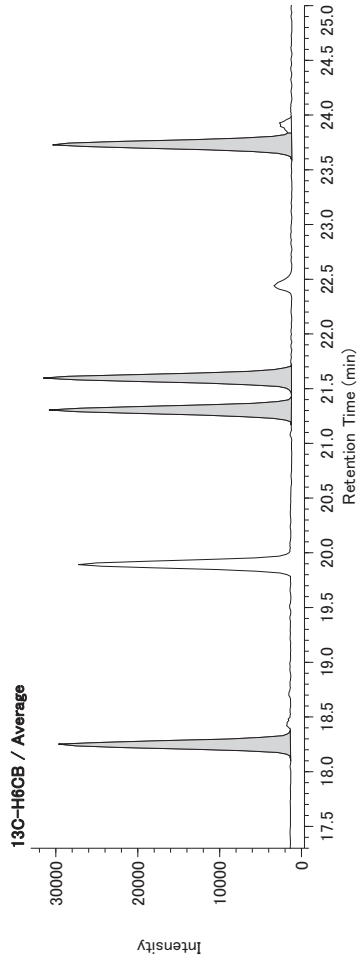
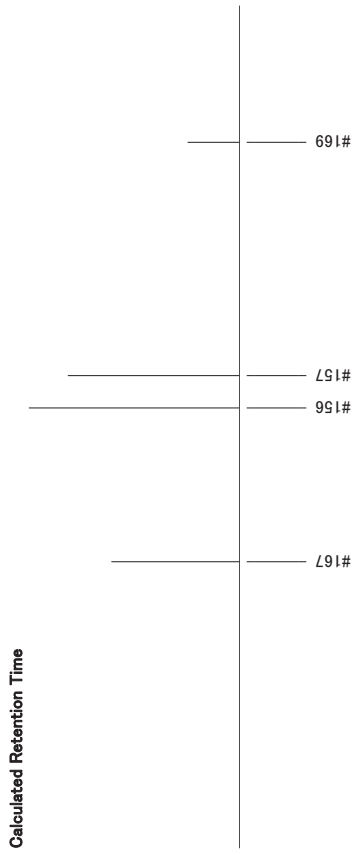
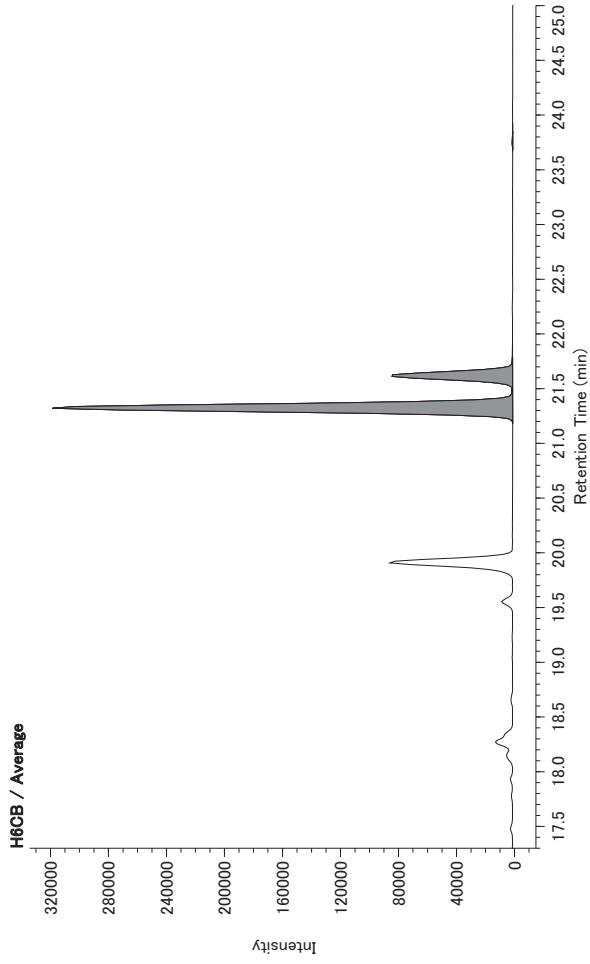


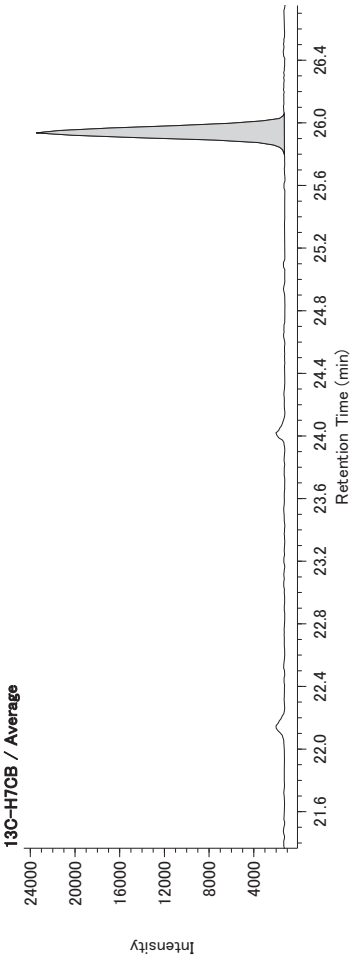
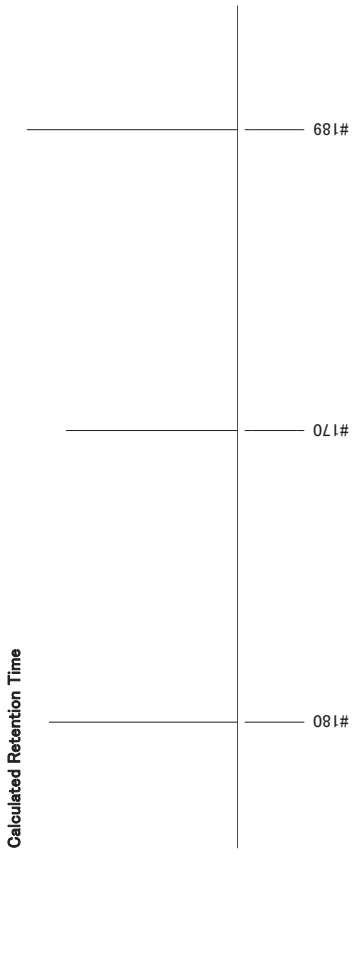
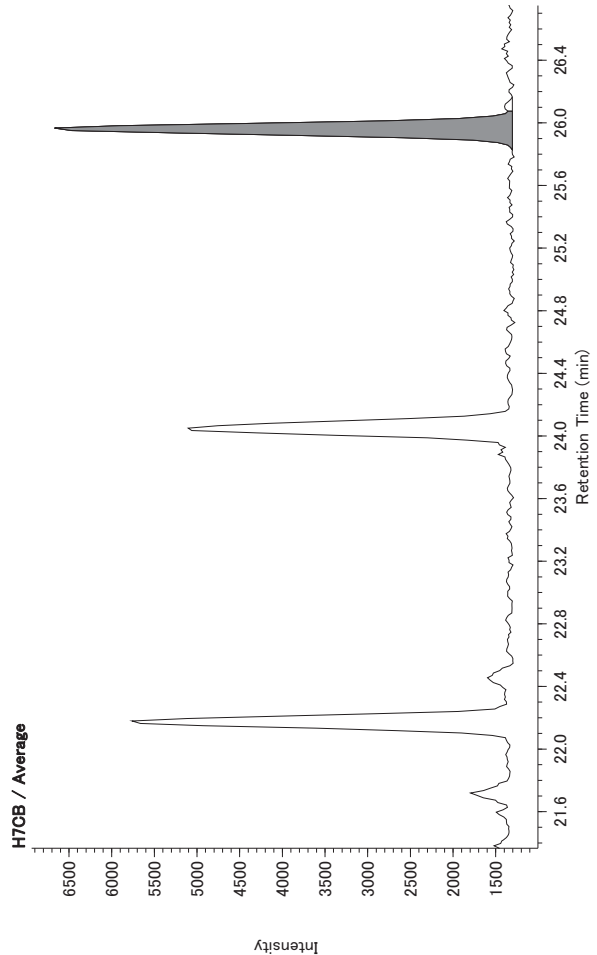
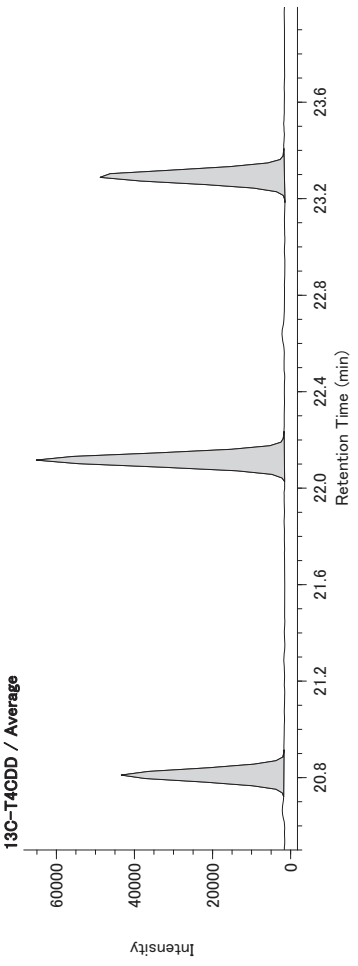
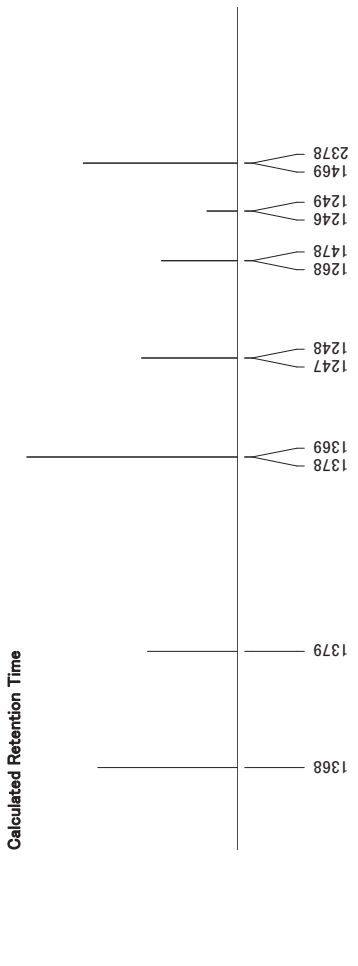
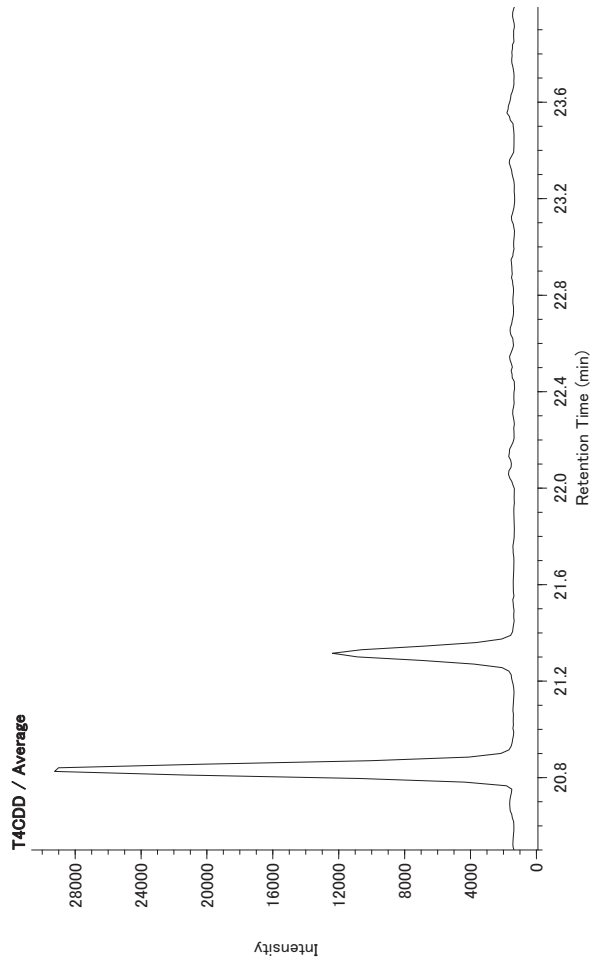
Calculated Retention Time



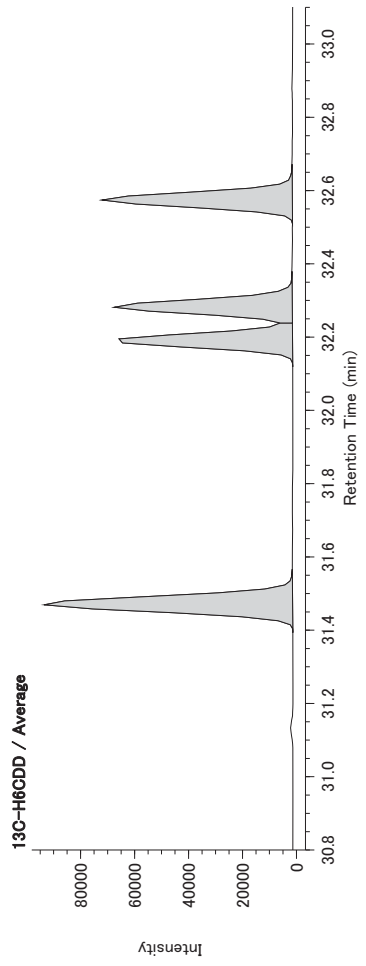
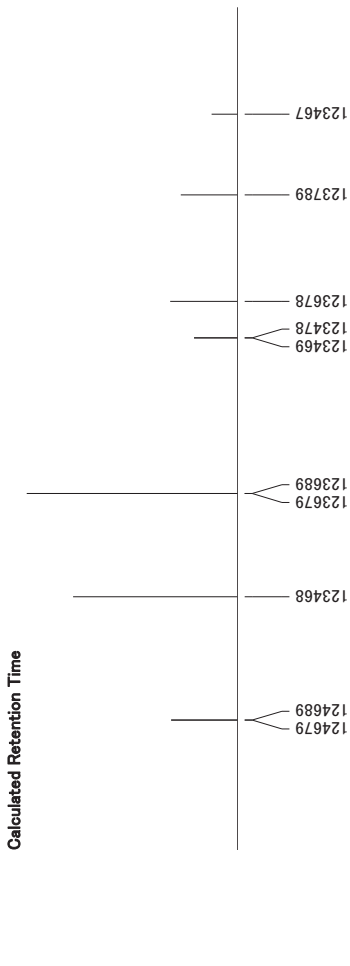
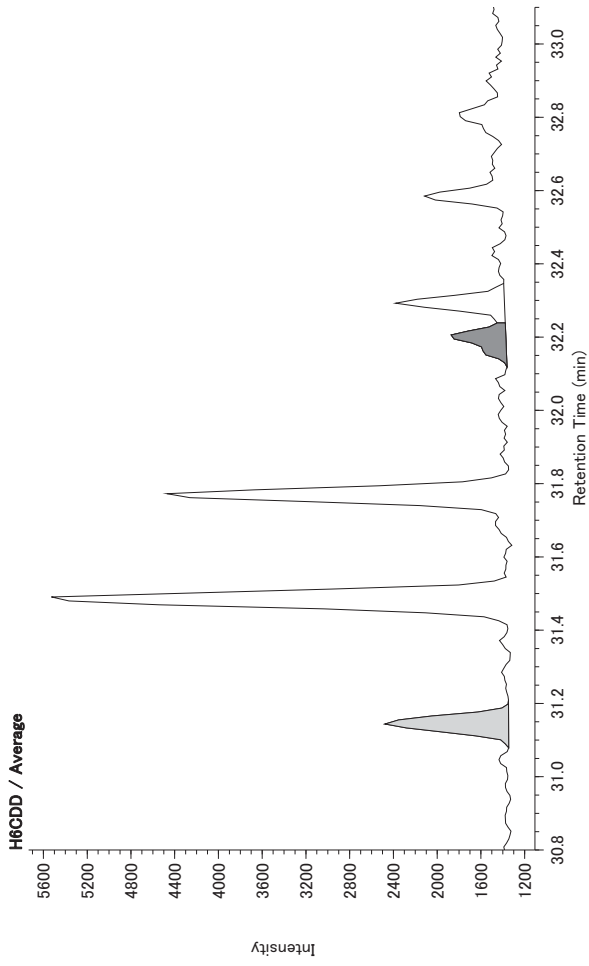
Calculated Retention Time



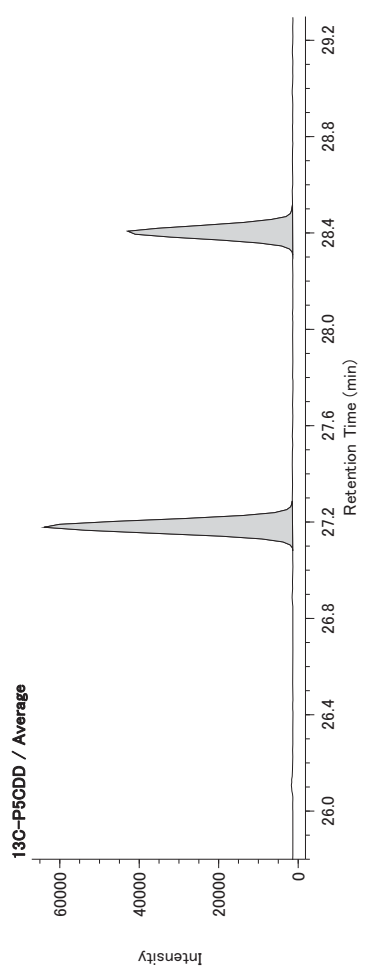
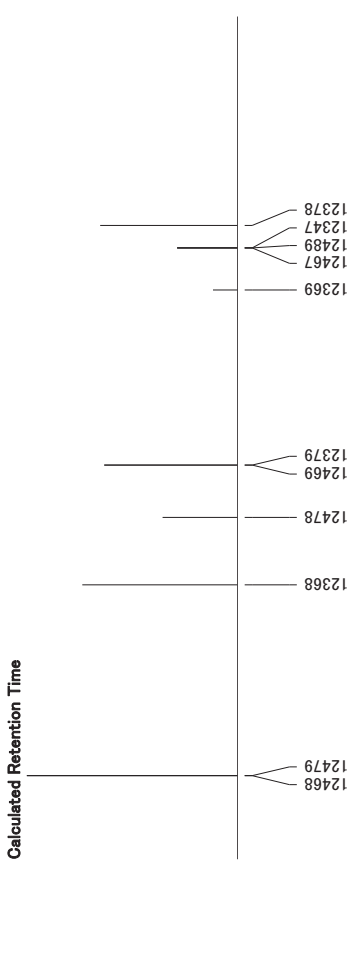
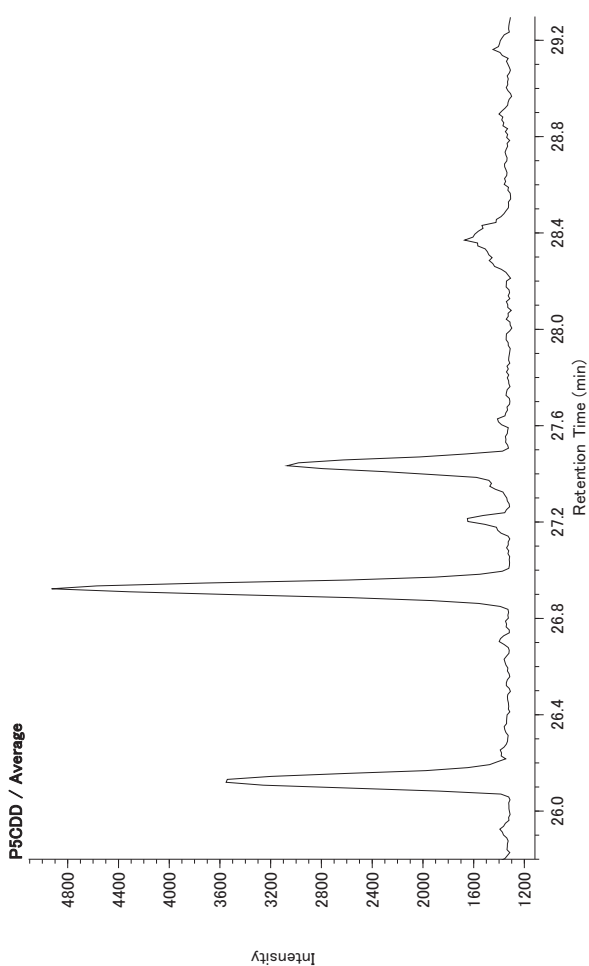




DQ Main View

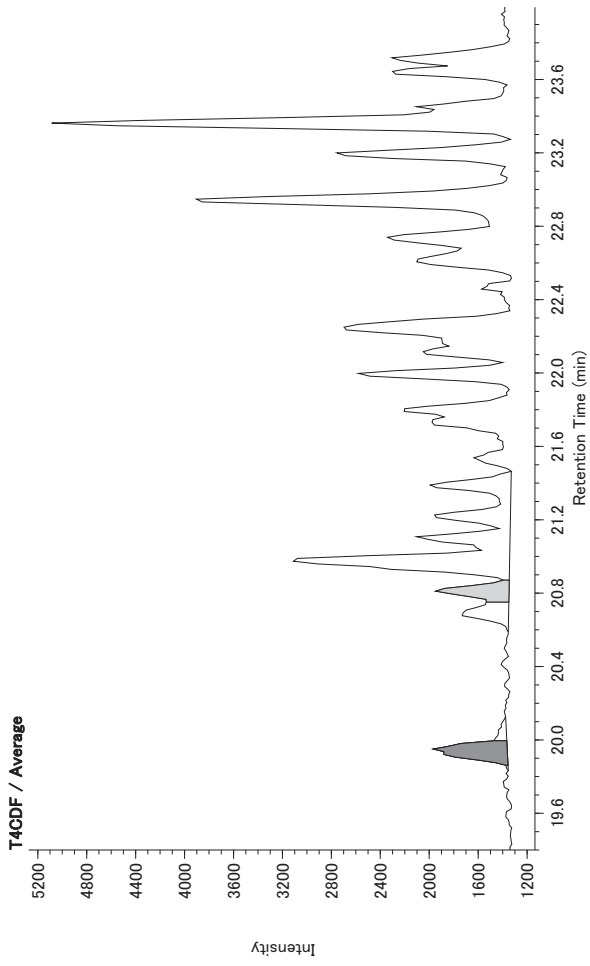


DQ Main View

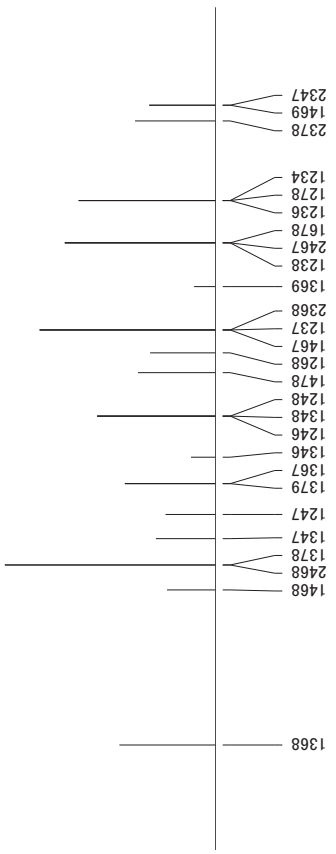


DQ Main View

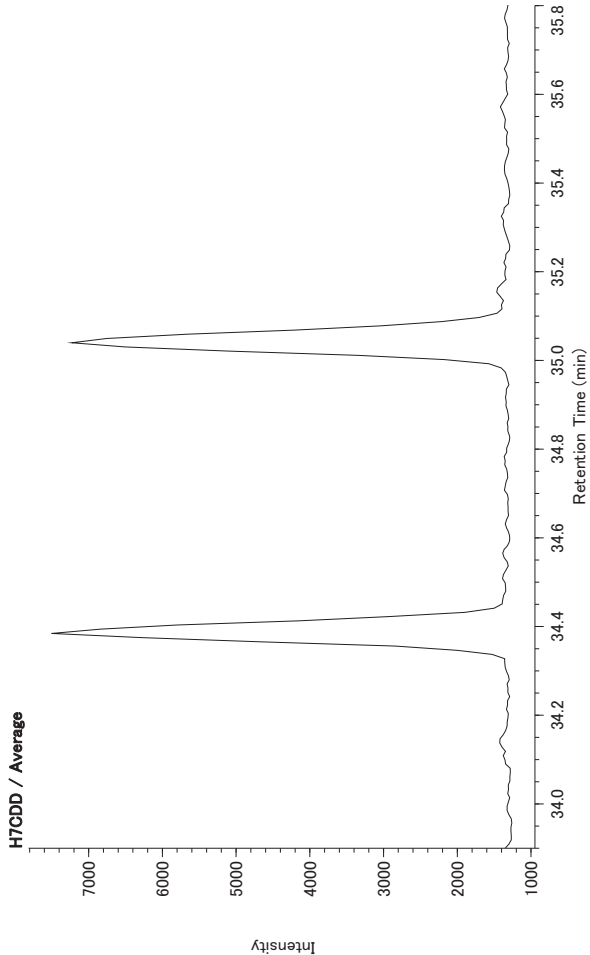
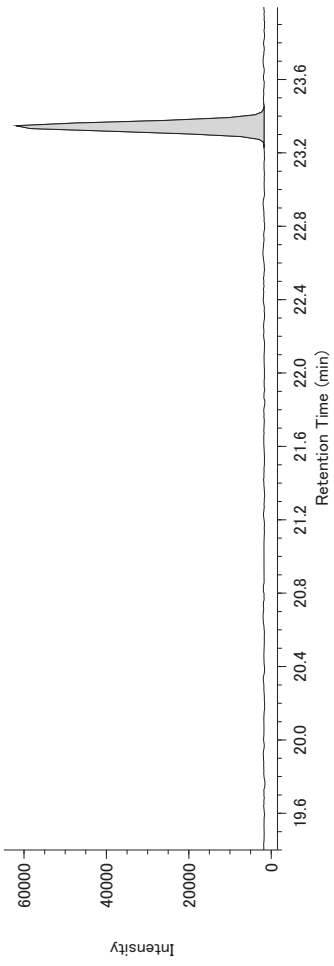
DQ Main View



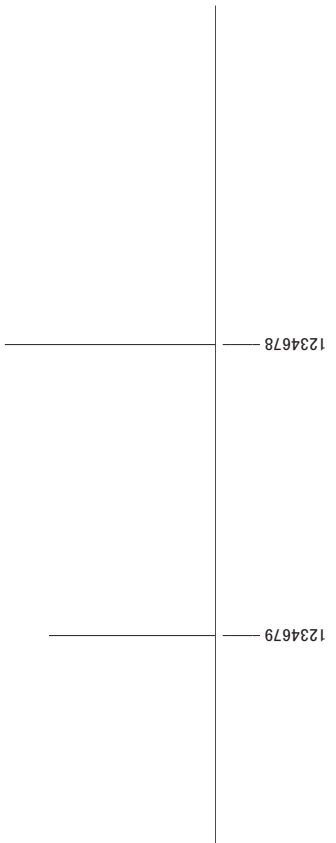
Calculated Retention Time



13C-T4CDF / Average



Calculated Retention Time



13C-H7CDD / Average

